

5.1 Der eingespannte Flügel

Lösungen

Aufgabe 1

a) Berechnungsmodell der Struktur

Abbildung 1.1 zeigt das Berechnungsmodell der Struktur. Es besteht aus Balken für den vorderen Holm, den Hauptholm, den hinteren Holm sowie die Rippen.

Das folgende GNU Octave-Skript erstellt das Berechnungsmodell und berechnet die ersten fünf Eigenschwingungen. Die Komponente und die Definition der Knotenpunktsets werden in der Datei `solid.bin` gespeichert. Die Knotenpunktsets werden später für die Definition der Splines benötigt.

```
# Übungsblatt 5.1, Aufgabe 1: Knickflügel
#
# a) Strukturmodell
# Erzeugte Dateien:
#     solid.bin enthält Strukturmodell mit Eigenschwingungen
#                         und Knotenpunkt-Sets für die Splines
```

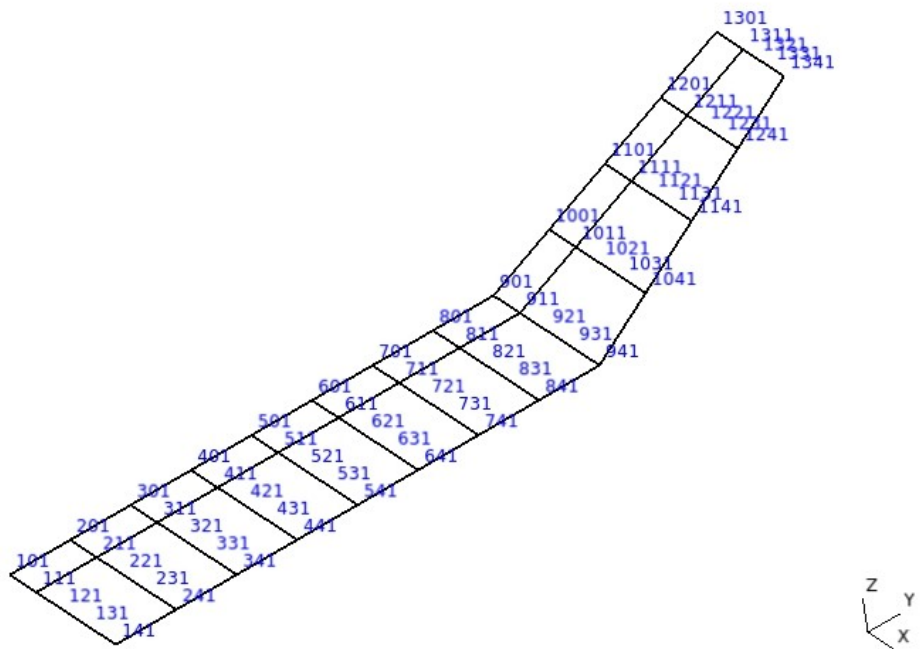


Abbildung 1.1: Balkenmodell der Struktur

```

#
# -----
# fid = fopen("solid.res", "wt");

# Strukturmodell
# ----

x1 = 100; % Vorderer Holm
x2 = 375; % Hauptholm
x3 = 1200; % Hinterer Holm
x4 = 800; % Hinterer Holm an der Flügelspitze

ya = 4000; % y-Position des Knicks
yt = 6000; % y-Position der Flügelspitze
zt = 1000; % z-Position der Flügelspitze

# Modelltyp

solid.type      = "solid";
solid.subtype   = "3d";

# Material

mat.type        = "iso";
mat.E           = 70000;
mat.ny          = 0.34;
mat.rho         = 2.7E-9;

# Vorderer Holm

geom    = mfs_beamsection("I", 30, 100, 2, 2);
geom.v  = [0, 0, 1];

nodes(1).id = 101; nodes(1).coor = [ 100,      0,      0];
nodes(2).id = 901; nodes(2).coor = [ 100, 4000,      0];
nodes(3).id = 1301; nodes(3).coor = [ 100, 6000, 1000];

idnew = 201 : 100 : 801;
idelt = 1 : 8;

[nodes, elem1] = mfs_line(nodes, 101, 901, idnew, idelt,
                          "b2", geom, mat);

idnew = 1001 : 100 : 1201;
idelt = 9 : 12;

[nodes, elem2] = mfs_line(nodes, 901, 1301, idnew, idelt,
                          "b2", geom, mat);

# Hauptholm

geom    = mfs_beamsection("box", "thin", 150, 180, 2);
geom.v  = [0, 0, 1];

```

```

n = length(nodes);

nodes(++n).id = 111; nodes(n).coor = [ 375,      0,      0];
nodes(++n).id = 911; nodes(n).coor = [ 375,  4000,      0];
nodes(++n).id = 1311; nodes(n).coor = [ 375,  6000, 1000];

idnew = 211 : 100 : 811;
idelt = 13 : 20;

[nodes, elem3] = mfs_line(nodes, 111, 911, idnew, idelt,
                          "b2", geom, mat);

idnew = 1011 : 100 : 1211;
idelt = 21 : 24;

[nodes, elem4] = mfs_line(nodes, 911, 1311, idnew, idelt,
                          "b2", geom, mat);

# Hinterer Holm

geom = mfs_beamsection("I", 30, 100, 2, 2);
geom.v = [0, 0, 1];

n = length(nodes);

nodes(++n).id = 141; nodes(n).coor = [ 1200,      0,      0];
nodes(++n).id = 941; nodes(n).coor = [ 1200,  4000,      0];
nodes(++n).id = 1341; nodes(n).coor = [   800,  6000, 1000];

idnew = 241 : 100 : 841;
idelt = 25 : 32;

[nodes, elem5] = mfs_line(nodes, 141, 941, idnew, idelt,
                          "b2", geom, mat);

idnew = 1041 : 100 : 1241;
idelt = 33 : 36;

[nodes, elem6] = mfs_line(nodes, 941, 1341, idnew, idelt,
                          "b2", geom, mat);

elemh = [elem1, elem2, elem3, elem4, elem5, elem6];

# Vordere Rippen

geomi = mfs_beamsection("I", 40, 120, 1, 1);
geomi.v = [0, 0, 1];

geoma = mfs_beamsection("I", 40, 120, 1, 1);
geoma.v = [0, -1, 2];

ide = length(elemh) + 1;
id1 = 101; id2 = 111;

```

```

for n = 1 : 9
    elemr(n).id = ide++; elemr(n).nodes = [id1, id2];
    elemr(n).type = "b2"; elemr(n).geom = geom;
    elemr(n).mat = mat;
    id1 += 100; id2 += 100;
end

for n = 10 : 13
    elemr(n).id = ide++; elemr(n).nodes = [id1, id2];
    elemr(n).type = "b2"; elemr(n).geom = geom;
    elemr(n).mat = mat;
    id1 += 100; id2 += 100;
end

# Hintere Rippen

id1 = 111; id2 = 141; idnew = [121, 131];

for n = 1 : 9
    idelt = ide : ide + 2;
    [nodes, elemx] = mfs_line(nodes, id1, id2, idnew, idelt,
                               "b2", geom, mat);
    id1 += 100; id2 += 100; idnew += 100;
    ide += 3;
    elemr = [elemr, elemx];
end

for n = 1 : 4
    idelt = ide : ide + 2;
    [nodes, elemx] = mfs_line(nodes, id1, id2, idnew, idelt,
                               "b2", geom, mat);
    id1 += 100; id2 += 100; idnew += 100;
    ide += 3;
    elemr = [elemr, elemx];
end

solid.nodes      = nodes;
solid.elements   = [elemh, elemr];

# Knotenpunkt-Sets (für Splines)

nset.inner_wing = [ 101 : 100 : 901, 111 : 100 : 911, ...
                    121 : 100 : 911, 131 : 100 : 931, ...
                    141 : 100 : 941 ];
nset.outer_wing = [ 901 : 100 : 1301, 911 : 100 : 1311, ...
                    921 : 100 : 1321, 931 : 100 : 1331, ...
                    941 : 100 : 1341 ];

# Einspannung

prescribed(1).id = 101; prescribed(1).dofs = 1 : 3;
prescribed(2).id = 111; prescribed(2).dofs = 1 : 6;
prescribed(3).id = 141; prescribed(3).dofs = 1 : 3;

solid.constraints.prescribed = prescribed;

```

```
# Analyse
# -----

wings = mfs_new(fid, solid);
mfs_export("solid.msh", "msh", wings, "mesh", "mesh", "axes");

wings = mfs_stiff(wings);
wings = mfs_mass(wings);
mfs_massproperties(fid, wings);

wings = mfs_freevib(wings, 5);
mfs_print(fid, wings, "modes", "freq");
mfs_export("modes.dsp", "msh", wings, "modes", "disp");

save -binary solid.bin wings nset

fclose(fid);
```

Die ersten vier Eigenschwingungen sind in Abbildung 1.2 dargestellt. Es handelt sich um die erste vertikale und die erste horizontale Biegeschwingung, die erste Torsionsschwingung und die zweite vertikale Biegeschwingung.

Die Ausgabedatei enthält folgende Ergebnisse:

```
Mefisto 2.4: Building new component from input "solid"

Model Type = solid, Model Subtype = 3d

Number of nodes      =   65, Number of elements =     88
Number of element types =  1
Number of global degrees of freedom =    390
Number of local degrees of freedom =    378
Number of prescribed degrees of freedom =    12

Mass properties of component "wings"

Coordinates of reference point:      0.0000,      0.0000,      0.0000

Rigid body mass matrix:

 3.9872e-02 -4.6374e-20 -1.3781e-20 -4.5716e-17  6.9525e+00 -1.2082e+02
 3.7329e-20  3.9872e-02  6.4080e-19 -6.9525e+00 -1.7724e-16  1.9225e+01
 1.8827e-20  5.9280e-19  3.9872e-02  1.2082e+02 -1.9225e+01  5.2001e-17
 7.5471e-17 -6.9525e+00  1.2082e+02  4.9551e+05 -5.6595e+04 -3.0150e+03
 6.9525e+00 -1.6932e-16 -1.9225e+01 -5.6595e+04  1.8475e+04 -3.7405e+04
 -1.2082e+02  1.9225e+01  2.6481e-16 -3.0150e+03 -3.7405e+04  5.0416e+05

Mass =  3.9872e-02

Inertia tensor with respect to reference point:

 4.9551e+05 -5.6595e+04 -3.0150e+03
 -5.6595e+04  1.8475e+04 -3.7405e+04
 -3.0150e+03 -3.7405e+04  5.0416e+05

Coordinates of center of mass:  482.1608,  3030.1327,  174.3704

Inertia tensor with respect to center of mass:

 1.2820e+05  1.6580e+03  3.3726e+02
 1.6580e+03  7.9932e+03 -1.6338e+04
 3.3726e+02 -1.6338e+04  1.2879e+05
```

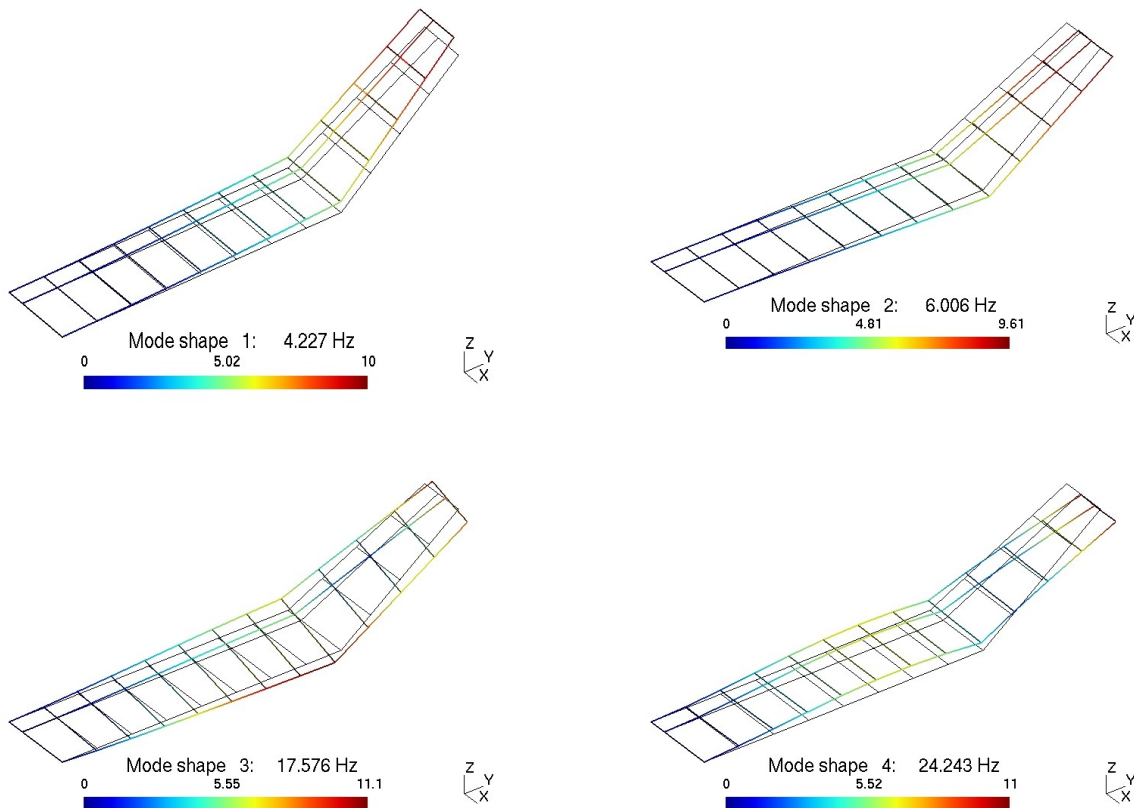


Abbildung 1.2: Einige Eigenschwingungen

Component "wings"

Natural frequencies:

Mode	Circ. Frequency	Frequency
1	26.56003	4.22716 Hz
2	37.73625	6.00591 Hz
3	110.43352	17.57604 Hz
4	152.32502	24.24328 Hz
5	159.60354	25.40169 Hz

Die Masse des Flügels beträgt 0,03987 t, entsprechend 39,87 kg.

b) Aerodynamik-Modell

Das Aerodynamik-Modell besteht aus je einer Auftriebsfläche für den Innenflügel, den Außenflügel und das Querruder. Die Auftriebsflächen und ihre Diskretisierung sind in Abbildung 1.3 dargestellt.

Um eine über den Querruderbeginn gleichmäßige Diskretisierung zu erreichen, wird eine in Flügeltiefenrichtung gleichmäßige Unterteilung gewählt. Dabei wird die Anzahl der Panels so angepasst, dass die Panels des Querruders die gleiche Länge haben wie die des Flügels. In Spannweitenrichtung wird eine Verfeinerung in Richtung des Knicks und der Flügel spitze gewählt.

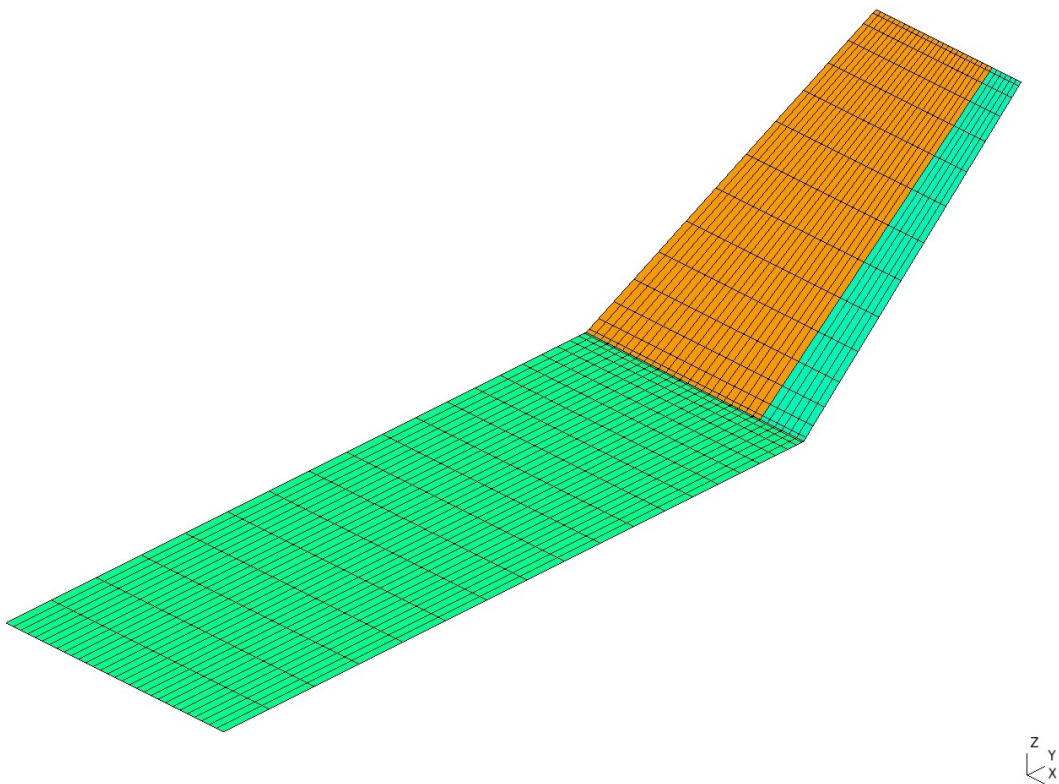


Abbildung 1.3: Aerodynamik-Modell

Das folgende GNU Octave-Skript erstellt das Berechnungsmodell und berechnet die Druckverteilung für die beiden Konfigurationen

1. $\alpha = 2^\circ$ und $\eta = 0^\circ$ sowie
2. $\alpha = 2^\circ$ und $\eta = 2^\circ$.

Die Komponente und die Dichte der Luft werden in der Datei `aero.bin` gespeichert. Die Daten für die graphische Darstellung werden in der Datei `rigid.plt` gespeichert. Diese Datei wird später benötigt, um die Druckverteilung des flexiblen Flügels mit der des starren Flügels zu vergleichen.

```
# Übungsblatt 5.1, Aufgabe 1: Knickflügel
#
# b) Aerodynamik-Modell
#
# Erzeugte Dateien:
#   aero.bin   enthält aerodynamisches Modell und
#               Druckverteilung
#   rigid.plt  enthält Daten für xy-Plot
#
# -----
#
warning("off", "Octave:missing-glyph");

colors = [1, 0, 0; 0, 1, 0; 0, 0, 1; 1, 0, 0.5];
```

```

set(0, "defaultlinelinenwidth", 2);
set(0, "defaultaxesfontsize", 10);
set(0, "defaultaxescolororder", colors);

fid = fopen("aero.res", "wt");

# Aerodynamik-Modell
# -----

ya = 4000; % y-Position des Knicks
yt = 6000; % y-Position der Flügel spitze
zt = 1000; % z-Position der Flügel spitze

cr = 1500; % Flügeltiefe an der Flügelwurzel
ct = 1000; % Flügeltiefe an der Flügel spitze
k = 0.2; % Klappentiefenverhältnis des Querruders

nxi = 30; % Panels in x-Richtung für den Innenflügel
nxo = 24; % Panels in x-Richtung für den Außenflügel
nxa = 6; % Panels in x-Richtung für das Querruder

nyi = 20; % Panels in y-Richtung für den Innenflügel
nyo = 15; % Panels in y-Richtung für den Außenflügel

alpha = 2; % Anstellwinkel in Grad
eta = [0, 2]; % Querruderwinkel in Grad
v = 40E3; % Anströmgeschwindigkeit in mm/s
rho = 1.21E-12; % Luftdichte in t/mm^3

# Profildaten

cmbi = mfs_airfoil("NACA", 5, 30);
cmbo = mfs_airfoil("NACA", 5, 30, 0, 1 - k);
cmba = mfs_airfoil("NACA", 5, 30, 1 - k, 1);

# Modelltyp

aero.type = "aero";
aero.subtype = "vlm";
aero.symy = 0;

# Punkte an der Flügelvorderkante

points(1).id = 1; points(1).coor = [0, 0, 0];
points(2).id = 2; points(2).coor = [0, ya, 0];
points(3).id = 3; points(3).coor = [0, yt, zt];

# Punkte an der Querrudervorderkante

points(4).id = 12; points(4).coor = [(1 - k) * cr, ya, 0];
points(5).id = 13; points(5).coor = [(1 - k) * ct, yt, zt];

# Auftriebsfläche für den Innenflügel

ls(1).id = 1; ls(1).points = [1, 2];

```

```

ls(1).chord = cr; ls(1).camber = cmbi;
ls(1).nx = nxi; ls(1).typex = "linear";
ls(1).ny = nyi; ls(1).typey = "cos>";

# Auftriebsfläche für den Außenflügel

ls(2).id = 2; ls(2).points = [2, 3];
ls(2).chord = (1 - k) * [cr, ct]; ls(2).camber = cmbo;
ls(2).nx = nxo; ls(2).typex = "linear";
ls(2).ny = nyo; ls(2).typey = "cos";

# Auftriebsfläche für das Querruder

ls(3).id = 3; ls(3).points = [12, 13];
ls(3).chord = k * [cr, ct]; ls(3).camber = cmba;
ls(3).nx = nxa; ls(3).typex = "linear";
ls(3).ny = nyo; ls(3).typey = "cos";

# Querruder als Kontrollfläche

controls(1).name = "aileron";
controls(1).ls    = 3;

# Konfigurationen

qdyn = 0.5 * rho * v^2;

for n = 1 : 2
  config(n).name = ...
    sprintf("Conf. %d: alpha = %5.2f, eta = %5.2f",
           alpha, eta(n));
  config(n).qdyn = qdyn; config(n).alpha = alpha;
  config(n).aileron = eta(n);
end

# Definitionen zum Modell hinzufügen

aero.points    = points;
aero.ls         = ls;
aero.controls  = controls;
aero.config    = config;

# Analyse
# -----

winga = mfs_new(fid, aero);
mfs_export("aero.msh", "msh", winga, "mesh");

winga = mfs_statresp(winga);
winga = mfs_results(winga, "statresp", "panel");

mfs_export("aero.pos", "msh", winga, "statresp", "pressure");

[xi(:, 1), pri(:, :, 1), y(1)] = ...
  mfs_xydata(winga, "statresp", "pressure", 1, 1);

```

```

[xi(:, 2), pri(:, :, 2), y(2)] = ...
    mfs_xydata(winga, "statresp", "pressure", 1,
                floor(0.8 * nyi));
pri = 1000 * pri;
xi = xi / 1000;

[xo(:, 1), pro(:, :, 1), y(3)] = ...
    mfs_xydata(winga, "statresp", "pressure", [2, 3], 3);
[xo(:, 2), pro(:, :, 2), y(4)] = ...
    mfs_xydata(winga, "statresp", "pressure",
                [2, 3], floor(0.8 * nyo));
pro = 1000 * pro;
xo = xo / 1000;

y = y / 1000;

for k = 1 : length(y)
    leg{k} = sprintf("y = %4.2f m", y(k));
end
for k = 1 : length(eta)
    header{k} = sprintf("\\" eta = %2.0f\" \circ", eta(k));
end

crm = cr / 1000;

figure(1, "position", [100, 500, 750, 500],
       "paperposition", [0, 0, 14, 10]);

subplot(1, 2, 1)
    plot(xi(:, 1), squeeze(pri(:, 1, 1)),
          xi(:, 2), squeeze(pri(:, 1, 2)),
          xo(:, 1), squeeze(pro(:, 1, 1)),
          xo(:, 2), squeeze(pro(:, 1, 2)));
    legend(leg, "location", "northeast");
    legend("boxoff"); legend("left");
    title(header{1}, "fontweight", "normal");
    axis([0, crm, -0.1, 0.9]);
    set(gca(), "xtick", 0 : 0.25 : crm);
    grid;
    xlabel("x [m]");
    ylabel("p [kPa]");

subplot(1, 2, 2)
    plot(xi(:, 1), squeeze(pri(:, 2, 1)),
          xi(:, 2), squeeze(pri(:, 2, 2)),
          xo(:, 1), squeeze(pro(:, 2, 1)),
          xo(:, 2), squeeze(pro(:, 2, 2)));
    title(header{2}, "fontweight", "normal");
    axis([0, crm, -0.1, 0.9]);
    set(gca(), "xtick", 0 : 0.25 : crm);
    grid;
    xlabel("x [m]");

saveas(1, "aero.jpg");

```

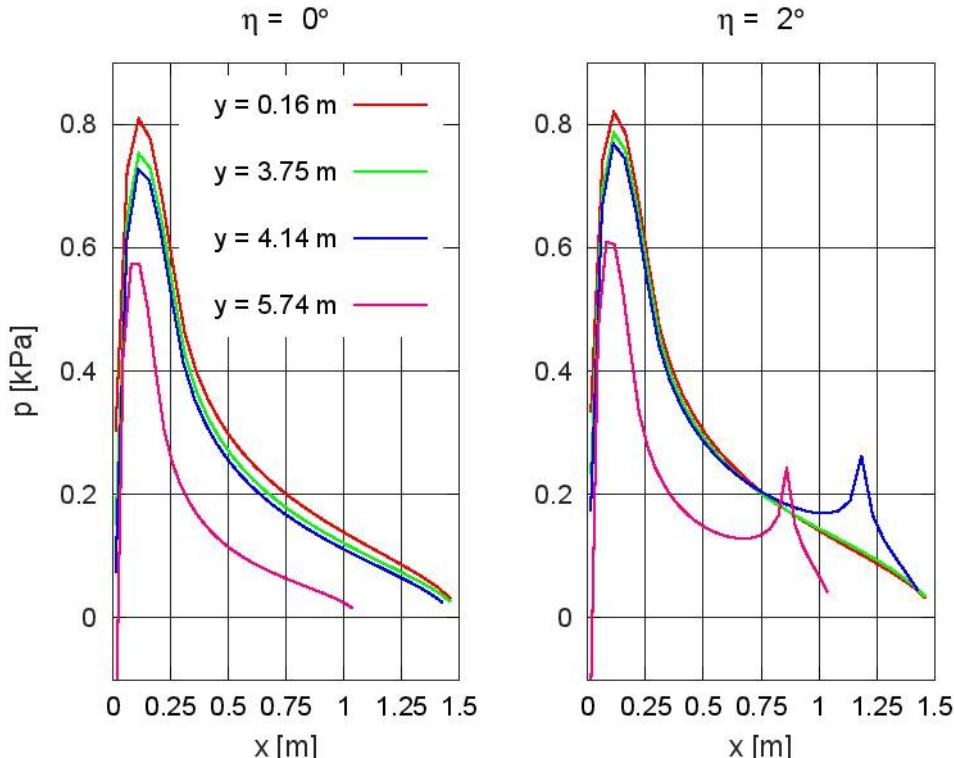


Abbildung 1.4: Druckverteilungen für den starren Flügel

```

save -binary aero.bin winga rho
save -binary rigid.plt crm nyi nyo eta xi xo pri pro

fclose(fid);

```

Abbildung 1.4 zeigt die Druckverläufe an vier typischen Flügelschnitten ohne und mit Querruderausschlag. Wie zu erwarten nimmt der Druck zur Flügel spitze hin ab. Deutlich zu sehen ist der Druckanstieg an der Vorderkante des Querruders, wenn das Querruder ausgeschlagen ist.

c) Aeroelastik-Modell

Zur Kopplung des Strukturmodells mit dem Aerodynamik-Modell müssen die Splines definiert werden. Für die drei Auftriebsflächen werden drei Splines benötigt. Wegen des Knicks des Flügels wird die Auftriebsfläche des Innenflügels an die Strukturdunknoten des Innenflügels angeschlossen, während die Auftriebsflächen des Außenflügels und des Querruders an die Strukturdunknoten des Außenflügels angeschlossen werden. Die Knotenpunkt-Sets des Innen- und Außenflügels wurden in Teilaufgabe a) definiert. Sie sind in der Datei solid.bin gespeichert.

Das Strukturmodell hat neun Knotenpunktsreihen (Punkte mit gleicher y-Koordinate) für den Innenflügel und fünf Knotenpunktsreihen für den Außenflügel. Daher werden für den Spline des Innenflügels acht Spline-Segmente und für die Splines des Außenflügels fünf Spline-Segmente gewählt. Die Anzahl

der Spline-Segmente darf nicht größer sein als die Anzahl der Punkte mit unterschiedlicher y-Koordinate.

Der folgende Abschnitt des GNU Octave-Skripts definiert das Aeroelastik-Modell:

```
# Übungsblatt 5.1, Aufgabe 1: Knickflügel
#
# c) Aeroelastik-Modell
#
# Benötigte Dateien: solid.bin, aero.bin
#
# Erzeugte Dateien:
#   aeroelastic.bin enthält das aeroelastische Modell
#
# -----
#
fid = fopen("aeroelastic.res", "wt");

# Aeroelastik-Modell
# -----

model.type = "aeroelastic";

load solid.bin
load aero.bin

model.solid = wings;
model.aero  = winga;

# Splines

spline(1).id = 1; spline(1).type = "tb"; spline(1).lsid = 1;
spline(1).nodes = nset.inner_wing;
spline(1).data.nbreaks = 8;

spline(2).id = 2; spline(2).type = "tb"; spline(2).lsid = 2;
spline(2).nodes = nset.outer_wing;
spline(2).data.nbreaks = 4;

spline(3).id = 3; spline(3).type = "tb"; spline(3).lsid = 3;
spline(3).nodes = nset.outer_wing;
spline(3).data.nbreaks = 4;

modelsplines = spline;
```

Zur Kontrolle der Splines werden die in Teilaufgabe b) berechneten aerodynamischen Lasten auf das Strukturmodell übertragen und die resultierenden Lasten verglichen:

```
# Analyse
# -----

# Komponente und Splines erzeugen
```

```

wing = mfs_new(fid, model);
wing = mfs_splines(wing);

save -binary aeroelastic.bin wing rho

# Aerodynamische Lasten aus u5_1_1b auf Struktur übertragen

wings = mfs_transfer(wing, winga, "statresp", "loads");
[FA, MA] = mfs_getresp(winga, "statresp", "aeload");
[FS, MS] = mfs_getresp(wings, "load", "resultant");

nc = columns(FA);

fprintf(fid, "Load resultants of aerodynamic component: \n\n");
for k = 1 : nc
    fprintf(fid, " Configuration %2d:\n", k)
    fprintf(fid, "     F = [%10.3e, %10.3e, %10.3e] kN\n",
            FA(:, k) / 1000);
    fprintf(fid, "     M = [%10.3e, %10.3e, %10.3e] kNm\n",
            MA(:, k) * 1e-6);
end

fprintf(fid, "\nLoad resultants of solid component: \n\n");
for k = 1 : nc
    fprintf(fid, " Configuration %2d:\n", k)
    fprintf(fid, "     F = [%10.3e, %10.3e, %10.3e] kN\n",
            FS(:, k) / 1000);
    fprintf(fid, "     M = [%10.3e, %10.3e, %10.3e] kNm\n",
            MS(:, k) * 1e-6);
end

```

Anschließend werden die Verschiebungen der Strukturknoten infolge der aerodynamischen Lasten berechnet und auf die Knoten des Aerodynamik-Modells übertragen:

```

# Verschiebungen

wings = mfs_statresp(wings);
winga = mfs_transfer(wing, wings, "statresp", "disp");

mfs_export("solid.dsp", "msh", wings, "statresp", "disp");
mfs_export("aero.dsp", "msh", winga, "statresp", "disp");

# Modelle und Ergebnisse kombinieren

mfs_merge("solid.msh", "aero.msh", "wing.msh", "msh");
mfs_merge("solid.dsp", "aero.dsp", "wing.dsp", "msh");

fclose(fid);

```

Die resultierenden Kräfte und Momente sind in der Ausgabedatei enthalten.

Mefisto 2.4: Building new component from input "model"

Model Type = aeroelastic

Number of splines = 3

Load resultants of aerodynamic component:

```
Configuration 1:
F = [ 0.000e+00, -2.616e-01, 2.141e+00] kN
M = [ 5.817e+00, -9.063e-01, -9.915e-02] kNm
Configuration 2:
F = [ 0.000e+00, -3.342e-01, 2.351e+00] kN
M = [ 6.735e+00, -1.041e+00, -1.504e-01] kNm
```

Load resultants of solid component:

```
Configuration 1:
F = [ 0.000e+00, -2.616e-01, 2.141e+00] kN
M = [ 5.817e+00, -9.063e-01, -9.915e-02] kNm
Configuration 2:
F = [ 0.000e+00, -3.342e-01, 2.351e+00] kN
M = [ 6.735e+00, -1.041e+00, -1.504e-01] kNm
```

Die Resultierenden der Kräfte auf der Struktur stimmen mit den Resultierenden der aerodynamischen Kräfte überein.

Abbildung 1.5 zeigt die Verschiebungen der Knoten des Aerodynamik-Modells und des Strukturmodells für beide Konfigurationen. Die Verschiebungskomponente senkrecht zu den Auftriebsflächen ist für beide Modelle identisch. Verschiebungskomponenten tangential zu den Auftriebsflächen werden nicht auf das Aerodynamik-Modell übertragen, da sie keinen Einfluss auf die Aerodynamik haben.

Die Übereinstimmung der Resultierenden und der Verschiebungskomponenten senkrecht zu den Auftriebsflächen zeigt, dass die Splines korrekt definiert sind.

d) Statische Divergenz

Das folgende GNU Octave-Skript berechnet den Staudruck, bei dem statische Divergenz auftritt, und daraus die zugehörige Geschwindigkeit. Die Datei `aeroelastic.bin` enthält das Aerodynamik-Modell und die Dichte der

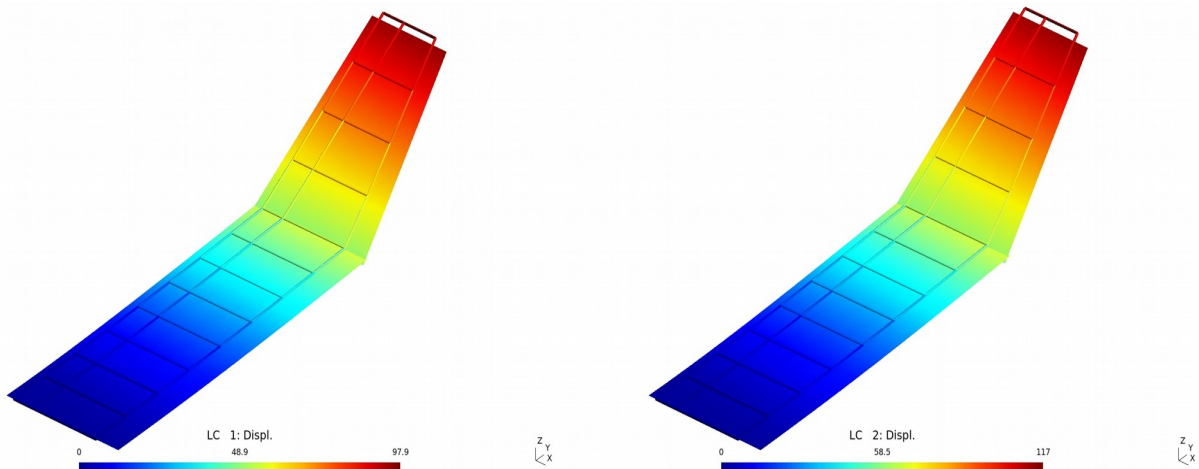


Abbildung 1.5: Vergleich der Verschiebungen

Luft. Die Ergebnisse der Divergenzanalyse werden in den Komponenten **wings** (Strukturmodell) und **winga** (Aerodynamik-Modell) gespeichert.

```
# Übungsblatt 5.1, Aufgabe 1: Knickflügel
#
# d) Statische Divergenz
#
# Benötigte Dateien: aeroelastic.bin
#
# -----
#
fid = fopen("diverg.res", "wt");
load aeroelastic.bin

# Analyse
# -----

[wings, winga, nfound] = mfs_diverg(wing, 2);
if (nfound)
    mfs_print(fid, winga, "diverg", "qdyn");
    qd = mfs_getresp(winga, "diverg", "qdyn", 1);
    vd = sqrt(2 * qd / rho) / 1000;
    fprintf(fid, "\n qd = %12.4e MPa, vd = %7.2f m/s\n",
            qd, vd);
end

fclose(fid);
```

Die Ausgabedatei hat den folgenden Inhalt:

```
Component "winga"
Dynamic pressure at divergence:
No.      Dynamic pressure
-----
1        6.6019e-02
qd = 6.6019e-02 MPa, vd = 330.34 m/s
```

Die Geschwindigkeit, bei der statische Divergenz auftritt, entspricht fast der Schallgeschwindigkeit. In diesem Geschwindigkeitsbereich kann die Strömung nicht mehr als inkompressibel betrachtet werden. In dem Geschwindigkeitsbereich, in dem die Strömung als inkompressibel betrachtet werden kann, d. h. für Strömungsgeschwindigkeiten bis etwa 100 m/s, tritt keine statische Divergenz auf.

e) Flexibler Flügel

Die Berechnungen für den flexiblen Flügel werden mit der aeroelastischen Komponente durchgeführt. Die primären Ergebnisse, das heißt die Verschie-

bungen und die Wirbelstärken, werden in der Struktur-Komponente und der Aerodynamik-Komponente gespeichert. Daraus lassen sich dann alle weiteren Ergebnisse berechnen.

Der folgende Abschnitt des GNU Octave-Skripts berechnet die Ergebnisse:

```
# Übungsblatt 5.1, Aufgabe 1: Knickflügel
#
# e) Aerodynamische Analyse
#
# Benötigte Dateien: aeroelastic.bin, rigid.plt
#
# -----
#
warning("off", "Octave:missing-glyph");

set(0, "defaultlinelinewidth", 2);
set(0, "defaultaxesfontsize", 10);

fid = fopen("flexible.res", "wt");

load aeroelastic.bin

# Analyse
# -----

# Statische Antwort

[wings, winga] = mfs_statresp(wing);

winga = mfs_results(winga, "statresp", "panel");
mfs_export("solid.dsp", "msh", wings, "statresp", "disp");
mfs_export("aero.pos", "msh", winga, "statresp",
           "pressure", "disp");

# Resultierende Kräfte

[FA, MA] = mfs_getresp(winga, "statresp", "aeload");
nc        = columns(FA);

fprintf(fid, "Load resultants of aerodynamic component: \n\n");
for k = 1 : nc
    fprintf(fid, " Configuration %2d:\n", k)
    fprintf(fid, "     F = [%10.3e, %10.3e, %10.3e] kN\n",
            FA(:, k) / 1000);
    fprintf(fid, "     M = [%10.3e, %10.3e, %10.3e] kNm\n",
            MA(:, k) * 1e-6);
end
```

Anschließend wird der Verlauf des Drucks in ausgewählten Flügelschnitten aus der Komponente extrahiert und zusammen mit den Ergebnissen des starren Flügels graphisch dargestellt:

```
# Vergleich der Druckverteilungen
```

```

load rigid.plt

[xi(:, 1), pfi(:, :, 1), y(1)] = ...
    mfs_xydata(winga, "statresp", "pressure", 1, 1);
[xi(:, 2), pfi(:, :, 2), y(2)] = ...
    mfs_xydata(winga, "statresp", "pressure", 1,
                floor(0.8 * nyi));
pfi = 1000 * pfi;
xi = xi / 1000;

[xo(:, 1), pfo(:, :, 1), y(3)] = ...
    mfs_xydata(winga, "statresp", "pressure", [2, 3], 3);
[xo(:, 2), pfo(:, :, 2), y(4)] = ...
    mfs_xydata(winga, "statresp", "pressure",
                [2, 3], floor(0.8 * nyo));
pfo = 1000 * pfo;
xo = xo / 1000;

y = y / 1000;

for k = 1 : length(y)
    header{k} = sprintf("\\"eta = %1d\\circ, y = %4.2f m",
                        eta(1), y(k));
end

figure(1, "position", [100, 500, 750, 500],
       "paperposition", [0, 0, 14, 10]);

subplot(2, 2, 1)
    plot(xi(:, 1), squeeze(pri(:, 1, 1)), "color", "red",
          xi(:, 1), squeeze(pfi(:, 1, 1)), "color", "green");
    legend("rigid", "flexible", "location", "northeast");
    legend("boxoff"); legend("left");
    title(header{1}, "fontweight", "normal");
    axis([0, crm, -0.1, 0.8]);
    set(gca(), "xtick", 0 : 0.25 : crm);
    grid;
    ylabel("p [kPa]");

subplot(2, 2, 2)
    plot(xi(:, 2), squeeze(pri(:, 1, 2)), "color", "red",
          xi(:, 2), squeeze(pfi(:, 1, 2)), "color", "green");
    legend("rigid", "flexible", "location", "northeast");
    legend("boxoff"); legend("left");
    title(header{2}, "fontweight", "normal");
    axis([0, crm, -0.1, 0.8]);
    set(gca(), "xtick", 0 : 0.25 : crm);
    grid;

subplot(2, 2, 3)
    plot(xo(:, 1), squeeze(pro(:, 1, 1)), "color", "red",
          xo(:, 1), squeeze(pfo(:, 1, 1)), "color", "green");
    legend("rigid", "flexible", "location", "northeast");
    legend("boxoff"); legend("left");
    title(header{3}, "fontweight", "normal");

```

```

axis([0, crm, -0.1, 0.8]);
set(gca(), "xtick", 0 : 0.25 : crm);
grid;
xlabel("x [m]");
ylabel("p [kPa]");

subplot(2, 2, 4)
plot(xo(:, 2), squeeze(pro(:, 1, 2)), "color", "red",
      xo(:, 2), squeeze(pfo(:, 1, 2)), "color", "green");
legend("rigid", "flexible", "location", "northeast");
legend("boxoff"); legend("left");
title(header{4}, "fontweight", "normal");
axis([0, crm, -0.1, 0.8]);
set(gca(), "xtick", 0 : 0.25 : crm);
grid;
xlabel("x [m]");

print("flexible1.jpg", "-djpeg");

for k = 1 : length(y)
    header{k} = sprintf("\\"eta = %1d\\circ, y = %4.2f m",
                        eta(2), y(k));
end

figure(2, "position", [250, 250, 750, 500],
       "paperposition", [0, 0, 14, 10]);

subplot(2, 2, 1)
plot(xi(:, 1), squeeze(pri(:, 2, 1)), "color", "red",
      xi(:, 1), squeeze(pfi(:, 2, 1)), "color", "green");
legend("rigid", "flexible", "location", "northeast");

```

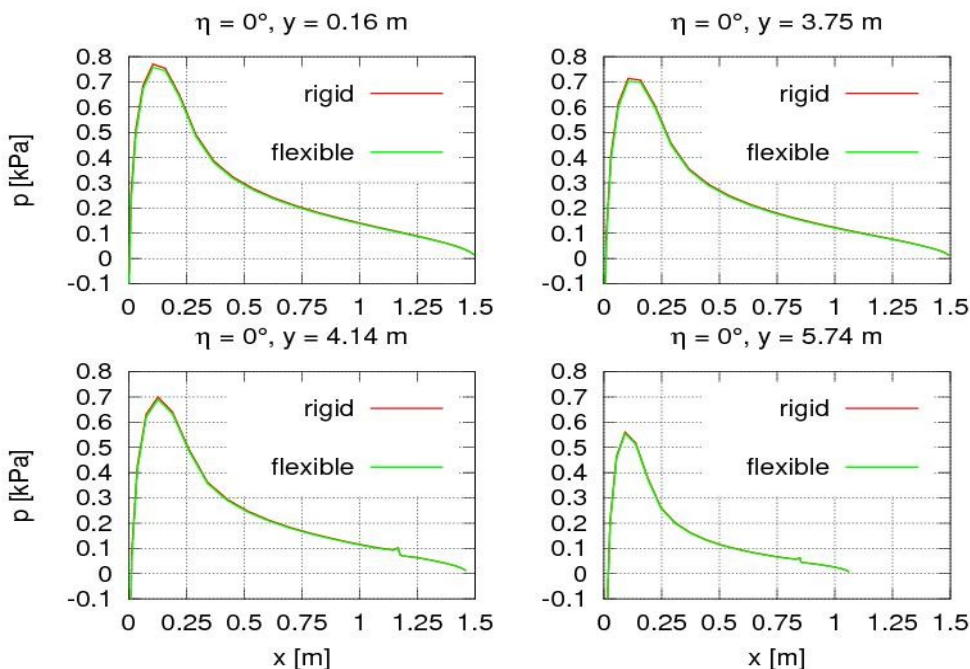


Abbildung 1.6: Druckverläufe ohne Querruderausschlag

```

legend("boxoff"); legend("left");
title(header{1}, "fontweight", "normal");
axis([0, crm, -0.1, 0.9]);
set(gca(), "xtick", 0 : 0.25 : crm);
grid;
ylabel("p [kPa]");

subplot(2, 2, 2)
plot(xi(:, 2), squeeze(pri(:, 2, 2)), "color", "red",
      xi(:, 2), squeeze(pfi(:, 2, 2)), "color", "green");
legend("rigid", "flexible", "location", "northeast");
legend("boxoff"); legend("left");
title(header{2}, "fontweight", "normal");
axis([0, crm, -0.1, 0.9]);
set(gca(), "xtick", 0 : 0.25 : crm);
grid;

subplot(2, 2, 3)
plot(xo(:, 1), squeeze(pro(:, 2, 1)), "color", "red",
      xo(:, 1), squeeze(pfo(:, 2, 1)), "color", "green");
legend("rigid", "flexible", "location", "northeast");
legend("boxoff"); legend("left");
title(header{3}, "fontweight", "normal");
axis([0, crm, -0.1, 0.9]);
set(gca(), "xtick", 0 : 0.25 : crm);
grid;
xlabel("x [m]");
ylabel("p [kPa]");

subplot(2, 2, 4)
plot(xo(:, 2), squeeze(pro(:, 2, 2)), "color", "red",

```

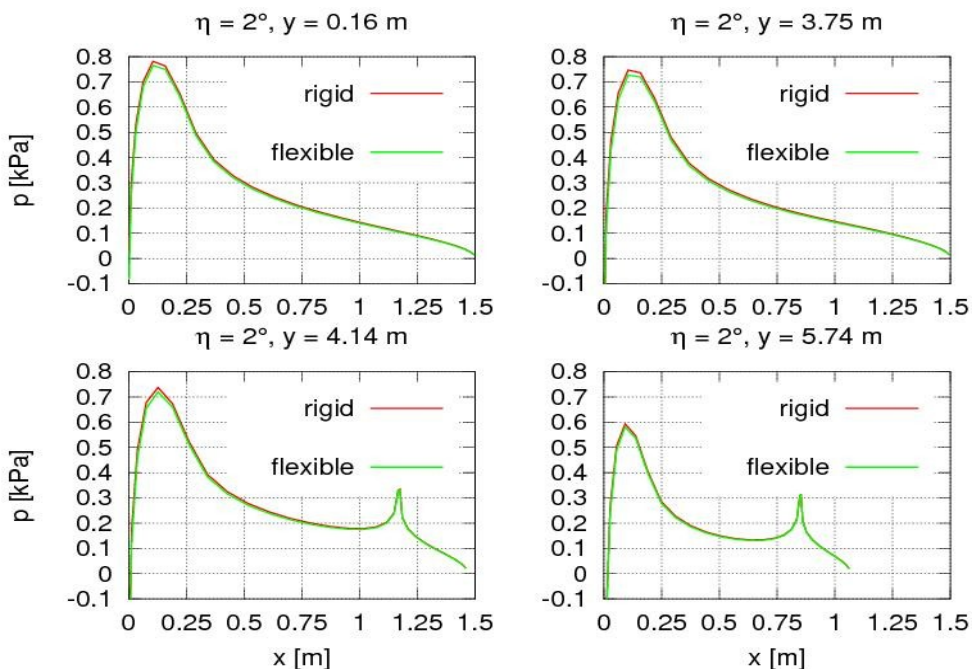


Abbildung 1.7: Druckverläufe mit Querruderausschlag

```

    xo(:, 2), squeeze(pfo(:, 2, 2)), "color", "green");
legend("rigid", "flexible", "location", "northeast");
legend("boxoff"); legend("left");
title(header{4}, "fontweight", "normal");
axis([0, crm, -0.1, 0.9]);
set(gca(), "xtick", 0 : 0.25 : crm);
grid;
xlabel("x [m]");

print("flexible2.jpg", "-djpeg");
fclose(fid);

```

Die Abbildungen 1.6 und 1.7 zeigen die Druckverläufe ohne und mit Querruderausschlag für den starren und den flexiblen Flügel. Da die Geschwindigkeit weit unterhalb der Geschwindigkeit für statische Divergenz liegt, unterscheiden sich die Druckverläufe zwischen starrem und flexiblem Flügel kaum.

Aufgabe 2

Um spätere Parameterstudien zu erleichtern, werden alle Parameter, die die Geometrie, die Querschnittsabmessungen, das Material und die Diskretisierung beschreiben, in einer eigenen Datei `params.m` definiert. Die Datei hat folgenden Inhalt:

```

# Übungsblatt 5.1, Aufgabe 2: Flügel
#
#      Definition aller Parameter
#
#      Einheiten: N, mm, t, Grad
#
# -----
#
# Geometrie
# -----

sweep = -5;      % Pfeilungswinkel
ya    = 5000;     % y-Position des Querruders
yt    = 8000;     % y-Position der Flügelspitze
cr    = 1200;     % Flügeltiefe an der Flügelwurzel
ct    = 800;       % Flügeltiefe an der Flügelspitze

# Strukturmodell
# -----

# Material: Aluminium

E    = 70000;
ny   = 0.34;
rho  = 2.7E-9;

# Querschnitte

```

```
b_Rippen = 20;
h_Rippen = 20;
s_Rippen = 2;

b_Stringer_1 = 30;
h_Stringer_1 = 30;
t_Stringer_1 = 2;

b_Stringer_2 = 50;
h_Stringer_2 = 40;
t_Stringer_2 = 4;

b_Stringer_3 = 40;
h_Stringer_3 = 30;
t_Stringer_3 = 4;

b_Stringer_4 = 20;
h_Stringer_4 = 20;
t_Stringer_4 = 2;

# Blechdicken

t_Holm_1 = 1;
t_Holm_2 = 2;
t_Holm_3 = 2;
t_Holm_4 = 1;

t_Rippen = 1;

t_Haut = 1;

# Aerodynamik-Modell
# ----

# Geometrie

kp    = 0.2;    % Klappentiefenverhältnis
atip = -3;      % Einstellwinkel an der Flügelspitze

# Konfiguration

alpha = 2; % Anstellwinkel in Grad
eta   = [0, 2]; % Querruderausschlag in Grad

# Auswertung

ycoli = [1, 10]; % Panelreihen für Druckausgabe, Innenflügel
ycolo = [3, 10]; % Panelreihen für Druckausgabe, Außenflügel

# Diskretisierung

nxi    = 40;    % Panels in x-Richtung für den Innenflügel
nxo    = 32;    % Panels in x-Richtung für den Außenflügel
nxa    = 8;     % Panels in x-Richtung für das Querruder
```

```

nyi    = 15;    % Panels in y-Richtung für den Innenflügel
nyo    = 15;    % Panels in y-Richtung für den Außenflügel

# Aeroelastik-Modell
# ----

nseg   = 10;    % Spline-Segmente

```

Die Diskretisierungsparameter für die Auftriebsflächen sind so gewählt, dass sich eine gleichmäßige Unterteilung in x-Richtung ergibt.

a) Berechnungsmodell der Struktur

Das folgende GNU Octave-Skript erstellt das Strukturmodell und berechnet die ersten zehn Eigenschwingungen. Zuerst werden die Parameter eingelesen und Gmsh gestartet, um die Vernetzung zu erstellen. Dem Aufruf von Gmsh werden die aktuellen Werte der Parameter als Argumente übergeben (Schlüsselworte **-setnumber**). Damit werden die in der Datei **solid.geo** definierten Konstanten überschrieben.

```

# Übungsblatt 5.1, Aufgabe 2: Flügel
#
# a) Strukturmodell: Definition und Berechnung der ersten 10
#                   Eigenschwingungen
#
#   Erzeugte Dateien: solid.bin  Komponente mit Struktur
#                     solid.set  Elementsets
#
# -----
#
fid  = fopen("modes.res", "wt");

nofmod = 10;          % Anzahl Eigenschwingungen
debug  = 0;           % Geometrie-Informationen ausgeben:
                      % 0 = nein, 1 = ja

# Modell definieren
# ----

# Daten definieren

params

# Vernetzung erstellen

keywords = "-2 -o solid.msh ";
keywords = [keywords, sprintf("-setnumber sweep %f ", sweep)];
keywords = [keywords, sprintf("-setnumber b %f ", yt)];
keywords = [keywords, sprintf("-setnumber c_root %f ", cr)];
keywords = [keywords, sprintf("-setnumber c_tip %f ", ct)];

if (debug)

```

```

keywords = [keywords, ...
            sprintf("-setnumber debug %d ", debug)];
end

gmshcmd = ["gmsh ", "solid.geo ", keywords];

status = system(gmshcmd);
if (status)
    error("gmsh: Vernetzung gescheitert\n");
end

```

Die erzeugte Vernetzung ist in Abbildung 2.1 dargestellt.

Anschließend werden die Übersetzungsdaten definiert:

```

# Übersetzungsdaten

mat.type = "iso";
mat.E     = E;
mat.ny   = ny;
mat.rho  = rho;

data.type    = "solid";
data.subtype = "3d";

# Rippen

[geom, e] = mfs_beamsection("T", b_Rippen, h_Rippen, s_Rippen);
geom.v     = [0, 0, -1];
geom.P     = [0, -e(1)];

```

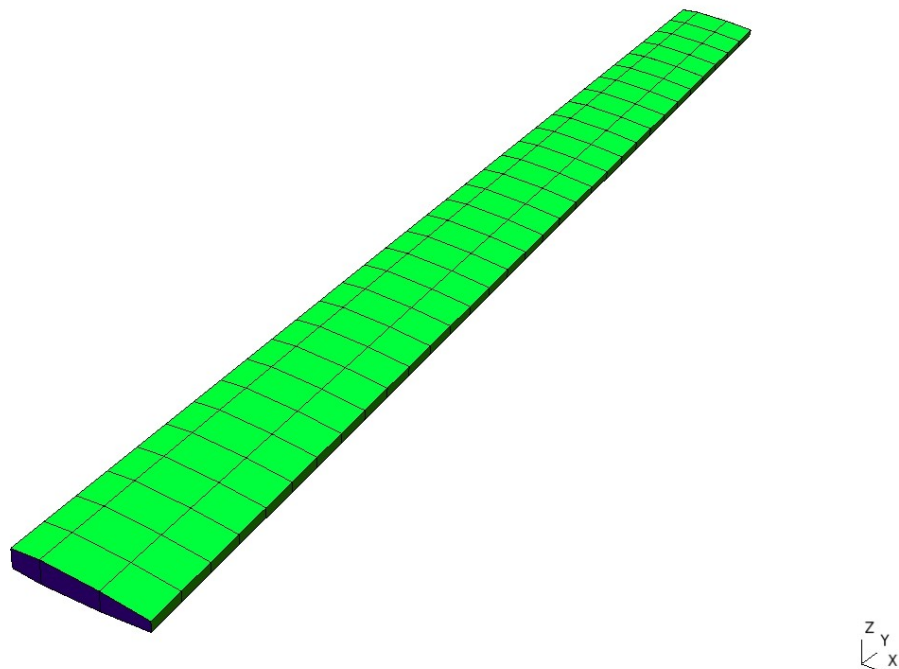


Abbildung 2.1: Berechnungsmodell der Struktur

```

Ribs_Upper_Part.type = "elements";
Ribs_Upper_Part.name = "b2";
Ribs_Upper_Part.geom = geom;
Ribs_Upper_Part.mat = mat;

Ribs_Lower_Part      = Ribs_Upper_Part;
Ribs_Lower_Part.geom.v = [0, 0, 1];

data.Ribs_Upper_Part = Ribs_Upper_Part;
data.Ribs_Lower_Part = Ribs_Lower_Part;

[geom, e] = mfs_beamsection("T", b_Rippen, h_Rippen, s_Rippen);
geom.v    = [1, 0, 0];
geom.P    = [0, -e(1)];
Ribs_Front_Part.type = "elements";
Ribs_Front_Part.name = "b2";
Ribs_Front_Part.geom = geom;
Ribs_Front_Part.mat = mat;

Ribs_End_Part = Ribs_Front_Part;

Ribs_End_Part.geom.v = [-1, 0, 0];

data.Ribs_Front_Part = Ribs_Front_Part;
data.Ribs_End_Part   = Ribs_End_Part;

geoms.t = t_Rippen;

Ribs.type = "elements";
Ribs.name = "q4";
Ribs.geom = geoms;
Ribs.mat = mat;

data.Ribs = Ribs;

# Stringer

[geom, e] = mfs_beamsection("T", b_Stringer_1,
                             h_Stringer_1, t_Stringer_1);
geom.v    = [0, 0, -1];
geom.P    = [0, -e(1)];
Stringer_1_Upper.type = "elements";
Stringer_1_Upper.name = "b2";
Stringer_1_Upper.geom = geom;
Stringer_1_Upper.mat = mat;

Stringer_1_Lower      = Stringer_1_Upper;
Stringer_1_Lower.geom.v = [0, 0, 1];

data.Stringer_1_Upper = Stringer_1_Upper;
data.Stringer_1_Lower = Stringer_1_Lower;

[geom, e] = mfs_beamsection("T", b_Stringer_2,
                             h_Stringer_2, t_Stringer_2);
geom.v    = [0, 0, -1];

```

```

geom.P      = [0, -e(1)];
Stringer_2_Upper.type = "elements";
Stringer_2_Upper.name = "b2";
Stringer_2_Upper.geom = geom;
Stringer_2_Upper.mat = mat;

Stringer_2_Lower      = Stringer_2_Upper;
Stringer_2_Lower.geom.v = [0, 0, 1];

data.Stringer_2_Upper = Stringer_2_Upper;
data.Stringer_2_Lower = Stringer_2_Lower;

[geom, e] = mfs_beamsection("T", b_Stringer_3,
                           h_Stringer_3, t_Stringer_3);
geom.v      = [0, 0, -1];
geom.P      = [0, -e(1)];
Stringer_3_Upper.type = "elements";
Stringer_3_Upper.name = "b2";
Stringer_3_Upper.geom = geom;
Stringer_3_Upper.mat = mat;

Stringer_3_Lower      = Stringer_3_Upper;
Stringer_3_Lower.geom.v = [0, 0, 1];

data.Stringer_3_Upper = Stringer_3_Upper;
data.Stringer_3_Lower = Stringer_3_Lower;

[geom, e] = mfs_beamsection("T", b_Stringer_4,
                           h_Stringer_4, t_Stringer_4);
geom.v      = [0, 0, -1];
geom.P      = [0, -e(1)];
Stringer_4_Upper.type = "elements";
Stringer_4_Upper.name = "b2";
Stringer_4_Upper.geom = geom;
Stringer_4_Upper.mat = mat;

Stringer_4_Lower      = Stringer_4_Upper;
Stringer_4_Lower.geom.v = [0, 0, 1];

data.Stringer_4_Upper = Stringer_4_Upper;
data.Stringer_4_Lower = Stringer_4_Lower;

# Schubfeld des vorderen Holms

geoms.t = t_Holm_1;

Front_Spar.type = "elements";
Front_Spar.name = "q4";
Front_Spar.geom = geoms;
Front_Spar.mat = mat;

data.Front_Spar = Front_Spar;

# Schubfeld des vorderen Hauptholms

```

```

geoms.t = t_Holm_2;

Main_Spar.type = "elements";
Main_Spar.name = "q4";
Main_Spar.geom = geoms;
Main_Spar.mat = mat;

data.Main_Spar = Main_Spar;

# Schubfeld des hinteren Hauptholms

geoms.t = t_Holm_3;

Back_Spar.type = "elements";
Back_Spar.name = "q4";
Back_Spar.geom = geoms;
Back_Spar.mat = mat;

data.Back_Spar = Back_Spar;

# Schubfeld des Endholms

geoms.t = t_Holm_4;

Rear_Spar.type = "elements";
Rear_Spar.name = "q4";
Rear_Spar.geom = geoms;
Rear_Spar.mat = mat;

data.Rear_Spar = Rear_Spar;

# Außenhaut

geoms.t = t_Haut;

Skin.type = "elements";
Skin.name = "q4";
Skin.geom = geoms;
Skin.mat = mat;

data.Skin = Skin;

# Einspannung

Clamped.type = "constraints";
Clamped.name = "prescribed";
Clamped.dofs = 1 : 6;

data.Clamped = Clamped;

```

Danach wird die Vernetzung eingelesen, die Komponente erstellt und die Berechnung durchgeführt. Die Struktur **eset** enthält die Elementsets, die aus den physikalischen Gruppen erzeugt wurden. Sie werden später in Teilaufgabe e) benötigt und deshalb in der Datei **solid.set** gespeichert. Die Kompo-

nente wird für die folgenden Teilaufgaben in der Datei `solid.bin` gespeichert.

```
# Rechnung
# -------

[model, ~, eset] = mfs_import(fid, "solid.msh", "msh", data);
wings = mfs_new(fid, model);
mfs_export("solid.axes", "msh", wings, "mesh", "axesonly");

wings = mfs_stiff(wings);
wings = mfs_mass(wings);
mfs_massproperties(fid, wings);

wings = mfs_freevib(wings, nofmod);
mfs_print(fid, wings, "modes", "freq")
mfs_export("modes.dsp", "msh", wings, "modes", "disp");

save -binary solid.bin wings
save -binary solid.set eset

fclose(fid);
```

Einige Biege- und Torsionsschwingungen sind in Abbildung 2.2 dargestellt.

Die Ausgabedatei enthält folgende Ergebnisse:

```
Reading model from file "solid.msh", MSH file version 4.1
```

Physical Group	Type
Ribs_Upper_Part	elements
Ribs_Lower_Part	elements
Ribs_Front_Part	elements
Ribs_End_Part	elements
Stringer_1_Upper	elements
Stringer_2_Upper	elements
Stringer_3_Upper	elements
Stringer_4_Upper	elements
Stringer_1_Lower	elements
Stringer_2_Lower	elements
Stringer_3_Lower	elements
Stringer_4_Lower	elements
Front_Spar	elements
Main_Spar	elements
Back_Spar	elements
Rear_Spar	elements
Ribs	elements
Skin	elements
Clamped	constraints

```
Mefisto 2.4: Building new component from input "model"
```

```
Model Type = solid, Model Subtype = 3d

Number of nodes      =  264,   Number of elements =    675
Number of element types =  2
Number of global     degrees of freedom =  1584
Number of local      degrees of freedom =  1560
Number of prescribed degrees of freedom =    24
```

```
Mass properties of component "wings"
```

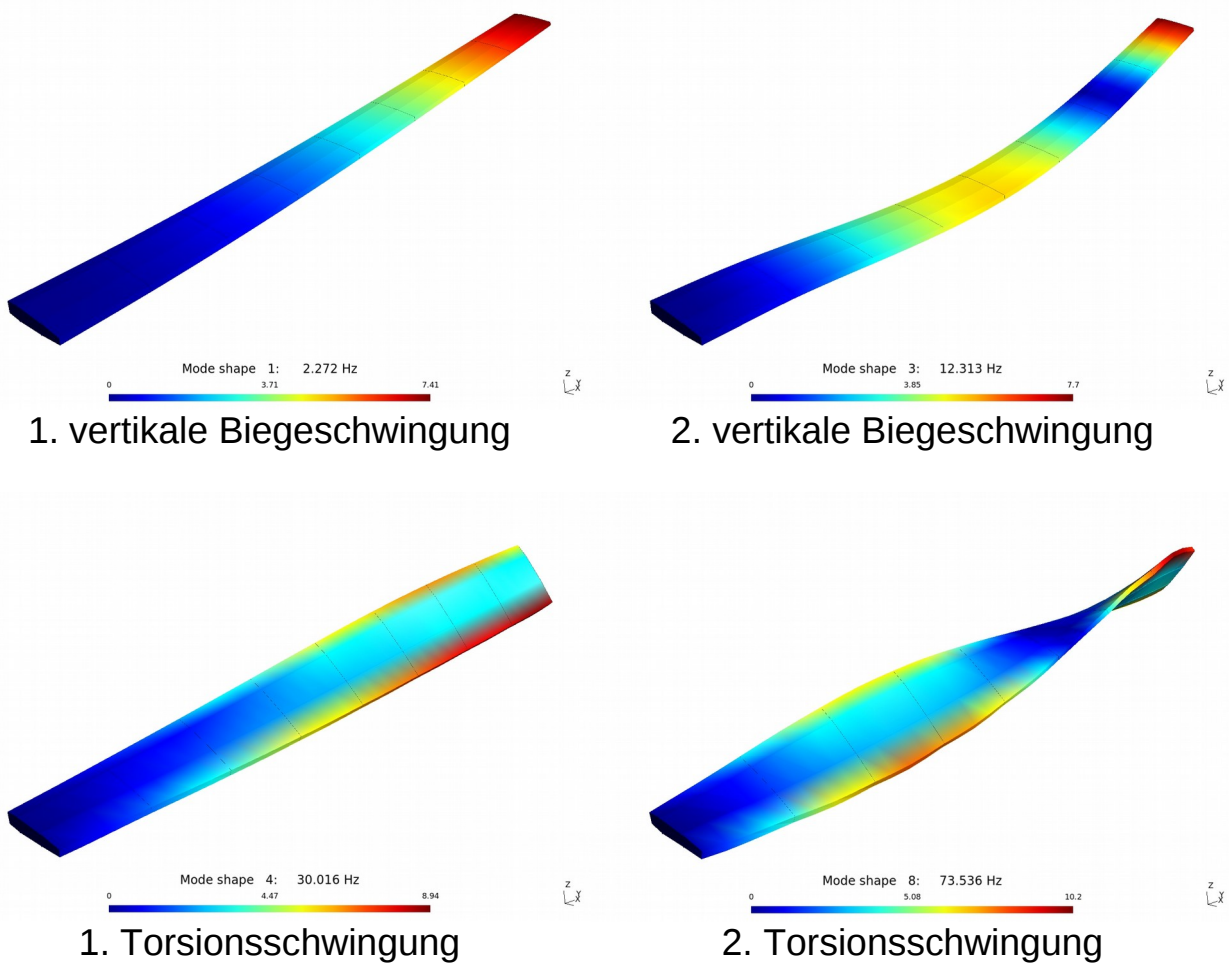


Abbildung 2.2: Einige Eigenschwingungen

```
Coordinates of reference point: 0.0000, 0.0000, 0.0000
```

```
Rigid body mass matrix:
```

```
8.2165e-02 5.2095e-20 1.6777e-20 8.1391e-17 1.0635e+00 -3.1517e+02
3.9222e-22 8.2165e-02 -4.2913e-21 -1.0635e+00 -7.3817e-18 -3.5166e+01
1.2775e-20 -4.4401e-21 8.2165e-02 3.1517e+02 3.5166e+01 -5.8717e-17
6.6281e-17 -1.0635e+00 3.1517e+02 1.6521e+06 1.7190e+05 5.1642e+02
1.0635e+00 -9.2954e-18 3.5166e+01 1.7190e+05 2.2530e+04 -3.8009e+03
-3.1517e+02 -3.5166e+01 -7.2533e-17 5.1642e+02 -3.8009e+03 1.6742e+06
```

```
Mass = 8.2165e-02
```

```
Inertia tensor with respect to reference point:
```

```
1.6521e+06 1.7190e+05 5.1642e+02
1.7190e+05 2.2530e+04 -3.8009e+03
5.1642e+02 -3.8009e+03 1.6742e+06
```

```
Coordinates of center of mass: -427.9940, 3835.7737, 12.9440
```

```
Inertia tensor with respect to center of mass:
```

```
4.4319e+05 3.7007e+04 6.1229e+01
3.7007e+04 7.4657e+03 2.7856e+02
6.1229e+01 2.7856e+02 4.5026e+05
```

Component "wings"

Natural frequencies:

Mode	Circ. Frequency	Frequency
1	14.27354	2.27170 Hz
2	58.31315	9.28083 Hz
3	77.36441	12.31293 Hz
4	188.59327	30.01555 Hz
5	204.98570	32.62449 Hz
6	305.88484	48.68308 Hz
7	388.71297	61.86559 Hz
8	462.03858	73.53572 Hz
9	621.61906	98.93375 Hz
10	726.15189	115.57066 Hz

Die Masse des Flügels beträgt 0,08217 t, entsprechend 82,17 kg.

b) Aerodynamik-Modell

Das Aerodynamik-Modell besteht aus je einer Auftriebsfläche für den Innenflügel, den Außenflügel und das Querruder. Die Auftriebsflächen und ihre Diskretisierung sind in Abbildung 2.3 dargestellt.

Das folgende GNU Octave-Skript erstellt das Berechnungsmodell und berechnet die Druckverteilung für die beiden Konfigurationen

1. $\alpha = 2^\circ$ und $\eta = 0^\circ$ sowie
2. $\alpha = 2^\circ$ und $\eta = 2^\circ$.

Die Modellbeschreibung, die Komponente, der Auftriebsbeiwert und die auf

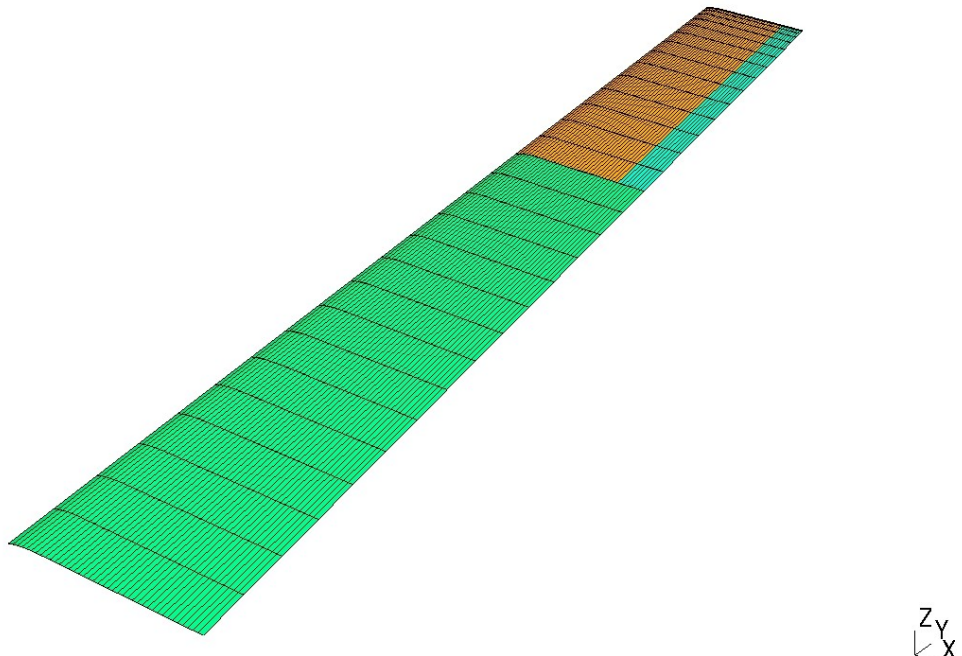


Abbildung 2.3: Aerodynamik-Modell

den Staudruck bezogene Änderung des Rollmoments infolge des Querruderausschlags werden in der Datei `aero.bin` gespeichert. Diese Datei wird für alle folgenden Teilaufgaben benötigt. Die Verläufe des Druckbeiwerts in den ausgewählten Flügelschnitten werden in der Datei `rigid.plt` gespeichert, um sie in Teilaufgabe e) mit den Verläufen für den elastischen Flügel vergleichen zu können.

```
# Übungsblatt 5.1, Aufgabe 2: Flügel
#
# b) Aerodynamik-Modell: Berechnung von Druckbeiwert,
#                           Auftriebsbeiwert und Änderung des
#                           Rollmoments
#
#   Erzeugte Dateien: aero.bin   Komponente mit Aerodynamikmodell
#                      rigid.bin Daten für xy-Plot
#
# -----
#
warning("off", "Octave:missing-glyph");

colors = [1, 0, 0; 0, 1, 0; 0, 0, 1; 1, 0, 0.5];

set(0, "defaultlinelinewidth", 2);
set(0, "defaultaxesfontsize", 10);
set(0, "defaultaxescolororder", colors);

fid = fopen("aero.res", "wt");

# Aerodynamik-Modell
# -----
#
# Daten definieren

params

# Profildaten

cmbi = mfs_airfoil("NACA", 5, 30);
cmbo = mfs_airfoil("NACA", 5, 30, 0, 1 - kp);
cmbo = mfs_airfoil("NACA", 5, 30, 1 - kp, 1);

# Modelltyp

aero.type      = "aero";
aero.subtype   = "vlm";
aero.symy      = 0;

# Punkte an der Flügelvorderkante

sa = ya / yt;
ca = (1 - sa) * cr + sa * ct;
sw = tand(sweep);

xr = -0.5 * cr;
```

```

xa = ya * sw - 0.5 * ca;
xt = yt * sw - 0.5 * ct;

points(1).id = 1; points(1).coor = [xr, 0, 0];
points(2).id = 2; points(2).coor = [xa, ya, 0];
points(3).id = 3; points(3).coor = [xt, yt, 0];

# Punkte an der Querrudervorderkante

xa += (1 - kp) * ca; xt += (1 - kp) * ct;

points(4).id = 4; points(4).coor = [xa, ya, 0];
points(5).id = 5; points(5).coor = [xt, yt, 0];

# Auftriebsfläche für den Innenflügel

ls(1).id = 1; ls(1).points = [1, 2];
ls(1).chord = [cr, ca]; ls(1).camber = cmbi;
ls(1).nx = nxi; ls(1).typex = "linear";
ls(1).ny = nyi;

# Auftriebsfläche für den Außenflügel

ls(2).id = 2; ls(2).points = [2, 3];
ls(2).chord = (1 - kp) * [ca, ct]; ls(2).camber = cmbo;
ls(2).nx = nxo; ls(2).typex = "linear";
ls(2).ny = nyo; ls(2).typey = "cos>";
ls(2).alpha = [0, atip];

# Auftriebsfläche für das Querruder

ls(3).id = 3; ls(3).points = [4, 5];
ls(3).chord = kp * [ca, ct]; ls(3).camber = cmba;
ls(3).nx = nxa; ls(3).typex = "linear";
ls(3).ny = nyo; ls(3).typey = "cos>";
ls(3).alpha = [0, atip];

# Querruder als Kontrollfläche

controls(1).name = "aileron";
controls(1).ls    = 3;

# Konfigurationen

for k = 1 : 2
    config(k).name = ...
        sprintf("Conf. %d: alpha = %5.2f, eta = %5.2f",
               k, alpha, eta(k));
    config(k).alpha = alpha; config(k).aileron = eta(k);
end

# Definitionen zum Modell hinzufügen

aero.points    = points;
aero.ls         = ls;

```

```

aero.controls = controls;
aero.config   = config;

# Analyse
# -----

winga = mfs_new(fid, aero);
mfs_export("aero.msh", "msh", winga, "mesh", "camber");

winga = mfs_statresp(winga);
winga = mfs_results(winga, "statresp", "panel");

mfs_export("aero.pos", "msh", winga, "statresp", "pressure");

# Auftriebsbeiwert

[F, M] = mfs_getresp(winga, "statresp", "aeload");
A      = mfs_getresp(winga, "mesh", "area");
cLR    = F(3, 1) / A;
dMxR   = M(1, 2) - M(1, 1);

fprintf(fid, "Area = %11.4e\n", A);
fprintf(fid, "cLR = %11.4e, dMxR = %11.4e\n", cLR, dMxR);

save -binary aero.bin aero winga cLR dMxR

# Druckbeiwert

[xi(:, 1), pri(:, :, 1), y(1)] = ...
  mfs_xydata(winga, "statresp", "pressure", 1, ycoli(1));
[xi(:, 2), pri(:, :, 2), y(2)] = ...
  mfs_xydata(winga, "statresp", "pressure", 1, ycoli(2));
[xo(:, 1), pro(:, :, 1), y(3)] = ...
  mfs_xydata(winga, "statresp", "pressure", [2, 3], ycolo(1));
[xo(:, 2), pro(:, :, 2), y(4)] = ...
  mfs_xydata(winga, "statresp", "pressure", [2, 3], ycolo(2));

xi = xi / cr;
xo = xo / cr;
y  = y / 1000;

save -binary rigid.plt xi xo y pri pro

for k = 1 : length(y)
  leg{k} = sprintf("y = %4.2f m", y(k));
end
for k = 1 : length(eta)
  header{k} = sprintf("\\"eta = %2.0f\\circ", eta(k));
end
figure(1, "position", [100, 500, 1000, 500],
       "paperposition", [0, 0, 16, 12]);

subplot(1, 2, 1)
  plot(xi(:, 1), squeeze(pri(:, 1, 1)),
        xi(:, 2), squeeze(pri(:, 1, 2)));

```

```

xo(:, 1), squeeze(pro(:, 1, 1)),
xo(:, 2), squeeze(pro(:, 1, 2)));
title(header{1}, "fontweight", "normal");
axis([-1, 0.5, -0.5, 1]);
grid;
xlabel('x/c'); ylabel('\Delta c_P');

subplot(1, 2, 2)
plot(xi(:, 1), squeeze(pri(:, 2, 1)),
      xi(:, 2), squeeze(pri(:, 2, 2)),
      xo(:, 1), squeeze(pro(:, 2, 1)),
      xo(:, 2), squeeze(pro(:, 2, 2)));
legend(leg, "location", "southeast");
legend("boxoff"); legend("left");
title(header{2}, "fontweight", "normal");
axis([-1, 0.5, -0.5, 1]);
grid;
xlabel('x/c');

print("rigid.jpg", "-djpeg");

fclose(fid);

```

Die Ausgabedatei enthält folgende Ergebnisse:

Mefisto 2.4: Building new component from input "aero"

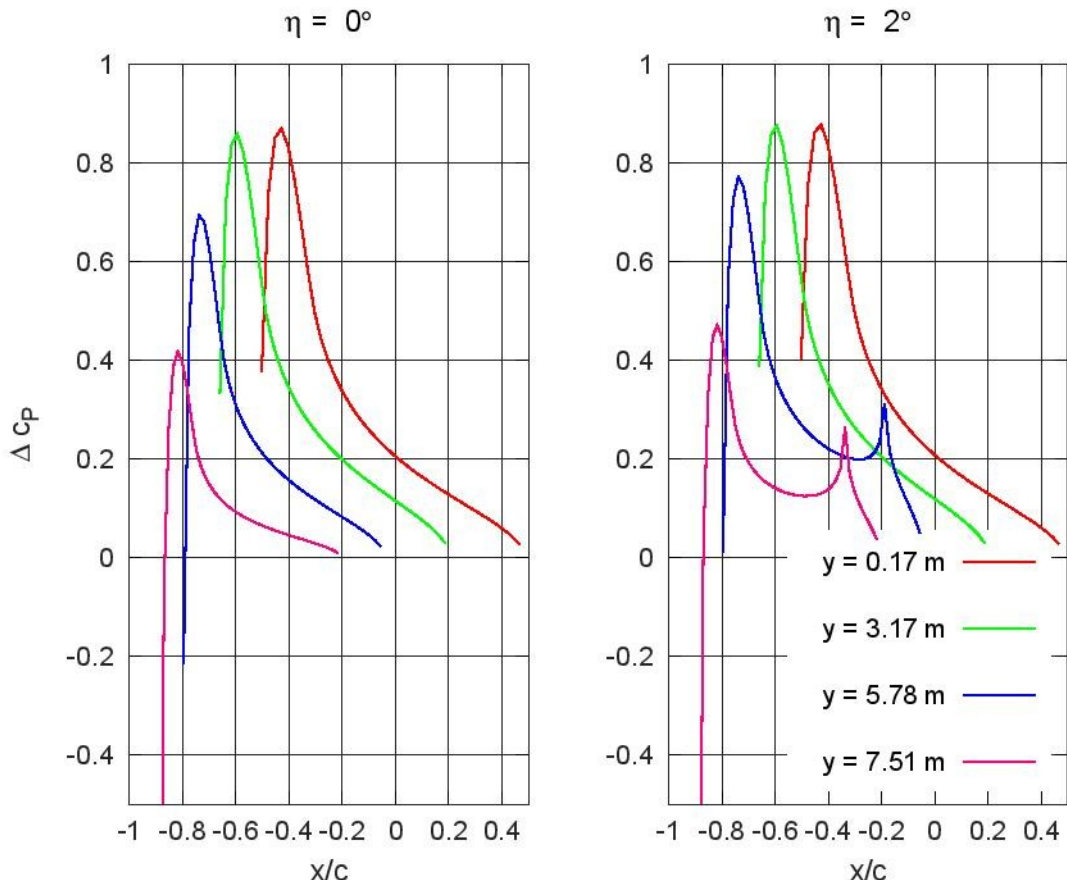


Abbildung 2.4: Druckbeiwerte für den starren Flügel

```

Model Type = aero, Model Subtype = vlm

Number of nodes = 1328, Number of panels = 1200
Number of lifting surfaces = 3
Number of control surfaces = 1
Number of configurations = 2
Reference chord length = 0.000000e+00
Symmetry plane: y = 0.000000e+00

Area = 8.0000e+06
cLR = 2.5400e-01, dMxR = 1.4550e+09

```

Abbildung 2.4 zeigt die Druckbeiwerte an vier typischen Flügelschnitten ohne und mit Querruderausschlag. Wie zu erwarten nimmt der Druck zur Flügelspitze hin ab. Deutlich zu sehen ist der Druckanstieg an der Vorderkante des Querruders, wenn das Querruder ausgeschlagen ist.

c) Aeroelastik-Modell

Für die Kopplung der drei Auftriebsflächen mit dem Strukturmodell müssen drei Splines definiert werden. Alle drei Splines werden an alle Knoten des Strukturmodells angeschlossen, um eine stetige Verformung des Aerodynamik-Modells zu erreichen. Es werden zehn Spline-Segmente verwendet.

Der folgende Abschnitt des GNU Octave-Skripts definiert das Aeroelastik-Modell:

```

# Übungsblatt 5.1, Aufgabe 2: Flügel
#
# c) Aeroelastik-Modell: Definition der Splines, Übertragung der
# aerodynamischen Lasten, Vergleich der Resultierenden und
# Berechnung der Verschiebungen
#
# Benötigte Dateien: solid.bin, aero.bin
#
# Erzeugte Dateien: aeroelastic.bin Aeroelastisches Modell
#
# -----
#
fid = fopen("aeroelastic.res", "wt");

# Aeroelastik-Modell
# -----

params

load solid.bin
load aero.bin

model.type = "aeroelastic";

model.solid = wings;
model.aero = winga;

# Spline für Innenflügel

```

```

spline(1).id = 1; spline(1).type = "tb"; spline(1).lsid = 1;
spline(1).data.nbreaks = nseg;

# Spline für Außenflügel

spline(2).id = 2; spline(2).type = "tb"; spline(2).lsid = 2;
spline(2).data.nbreaks = nseg;

# Spline für Querruder

spline(3).id = 3; spline(3).type = "tb"; spline(3).lsid = 3;
spline(3).data.nbreaks = nseg;

model.splines = spline;

# Komponente und Splines erzeugen

wing = mfs_new(fid, model);
wing = mfs_splines(wing);

save -binary aeroelastic.bin model wing

```

Modell und Komponente werden für die weiteren Teilaufgaben in der Datei aeroelastic.bin gespeichert.

Zur Kontrolle der Splines werden die aus den in Teilaufgabe b) berechneten Druckverteilungen ermittelten Lasten auf das Strukturmodell übertragen und die resultierenden Lasten verglichen.

```

# Aerodynamische Lasten aus u5_1_2b auf Struktur übertragen

wings = mfs_transfer(wing, winga, "statresp", "loads");
[FA, MA] = mfs_getresp(winga, "statresp", "aeload");
[FS, MS] = mfs_getresp(wings, "load", "resultant");

nc = columns(FA);

fprintf(fid, "Load resultants of aerodynamic component: \n\n");
for k = 1 : nc
    fprintf(fid, " Configuration %2d:\n", k)
    fprintf(fid, "     F = [%10.3e, %10.3e, %10.3e] kN\n",
            FA(:, k) / 1000);
    fprintf(fid, "     M = [%10.3e, %10.3e, %10.3e] kNm\n",
            MA(:, k) * 1e-6);
end

fprintf(fid, "\nLoad resultants of solid component: \n\n");
for k = 1 : nc
    fprintf(fid, " Configuration %2d:\n", k)
    fprintf(fid, "     F = [%10.3e, %10.3e, %10.3e] kN\n",
            FS(:, k) / 1000);
    fprintf(fid, "     M = [%10.3e, %10.3e, %10.3e] kNm\n",
            MS(:, k) * 1e-6);
end

```

```
end
```

Anschließend werden die Verschiebungen der Strukturknoten infolge der aerodynamischen Lasten berechnet und auf die Knoten des Aerodynamik-Modells übertragen. Zum besseren Vergleich werden Strukturmodell und Aerodynamik-Modell zu einem Gesamtmodell kombiniert.

Verschiebungen

```
wings = mfs_statresp(wings);
winga = mfs_transfer(wing, wings, "statresp", "disp");

mfs_print(fid, wings, "statresp", "reac");

mfs_export("solid.lds", "msh", wings, "load", "point");
mfs_export("solid.dsp", "msh", wings, "statresp", "disp");
mfs_export("aero.dsp", "msh", winga, "statresp", "disp");
```

Modelle und Ergebnisse kombinieren

```
mfs_merge("solid.msh", "aero.msh", "wing.msh", "msh");
mfs_merge("solid.dsp", "aero.dsp", "wing.dsp", "msh");

fclose(fid);
```

Die Ausgabedatei enthält folgende Ergebnisse:

```
Mefisto 2.4: Building new component from input "model"
```

```
Model Type = aeroelastic

Number of splines      =          3

Load resultants of aerodynamic component:

Configuration 1:
  F = [ 0.000e+00,  0.000e+00,  2.032e+03] kN
  M = [ 6.442e+03,  9.944e+02,  0.000e+00] kNm
Configuration 2:
  F = [ 0.000e+00,  0.000e+00,  2.283e+03] kN
  M = [ 7.897e+03,  1.130e+03,  0.000e+00] kNm
```

```
Load resultants of solid component:
```

```
Configuration 1:
  F = [ 0.000e+00,  0.000e+00,  2.032e+03] kN
  M = [ 6.442e+03,  9.944e+02,  0.000e+00] kNm
Configuration 2:
  F = [ 0.000e+00,  0.000e+00,  2.283e+03] kN
  M = [ 7.897e+03,  1.130e+03,  0.000e+00] kNm
```

```
Component "wings"
```

```
Reaction loads of loadcase 1:
```

node	Fx	Fy	Fz	Mx	My	Mz
3	-2.157e+06	2.998e+07	-7.281e+05	1.070e+08	9.265e+06	-1.242e+07
4	2.252e+06	-2.998e+07	-6.722e+05	1.065e+08	9.419e+06	1.445e+07
5	-2.836e+06	2.102e+07	-3.243e+05	4.915e+07	5.640e+06	5.527e+06
6	2.741e+06	-2.103e+07	-3.074e+05	4.920e+07	5.549e+06	-4.744e+06

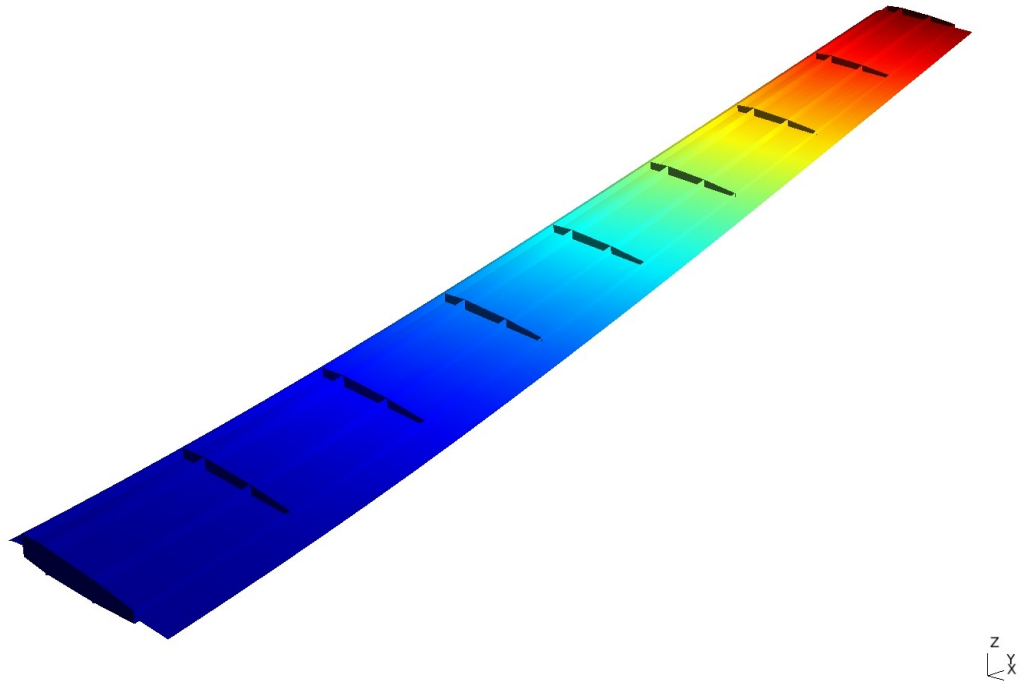


Abbildung 2.5: Vergleich der Verschiebungen

Reaction loads of loadcase 2:

node	Fx	Fy	Fz	Mx	My	Mz
3	-2.442e+06	3.669e+07	-8.041e+05	1.318e+08	1.132e+07	-1.560e+07
4	2.559e+06	-3.668e+07	-7.330e+05	1.312e+08	1.150e+07	1.805e+07
5	-3.409e+06	2.587e+07	-3.846e+05	6.077e+07	6.929e+06	6.657e+06
6	3.292e+06	-2.588e+07	-3.611e+05	6.082e+07	6.817e+06	-5.698e+06

Die resultierenden Lasten stimmen exakt überein.

Die Verschiebungen sind in Abbildung 2.5 dargestellt. Um die Verschiebungen des Aerodynamik-Modells besser sichtbar zu machen, ist die Außenhaut des Strukturmodells ausgeblendet. Es kann festgestellt werden, dass die Verschiebungen sehr gut zusammen passen.

Da diese Verschiebungen zu einem Staudruck von 1 MPa gehören, sind ihre Absolutwerte sehr groß.

d) Aeroelastische Analysen

Zunächst wird der Staudruck berechnet, bei dem statische Divergenz auftritt. Diese Berechnung kann direkt mit dem in Teilaufgabe c) erstellten Aeroelastik-Modell durchgeführt werden.

```
# Übungsblatt 5.1, Aufgabe 2: Flügel
#
# d) Aeroelastische Analysen:
#     Statische Divergenz, Auftriebsbeiwert und Ruderwirkungsfaktor
```

```

#      in Abhangigkeit vom Staudruck
#
#      Bentigte Dateien: aero.bin, aeroelastic.bin
#
# -----
#
warning("off", "Octave:missing-glyph");

set(0, "defaultlinelinewidth", 2);
set(0, "defaultaxesfontsize", 10);

fid = fopen("flexible1.res", "wt");

params

# Statische Divergenz
# -----
load aeroelastic.bin

[wings, winga, nfound] = mfs_diverg(wing, 5);

if (nfound)
    mfs_print(fid, winga, "diverg", "qdyn");
    qd = mfs_getresp(winga, "diverg", "qdyn", 1);
else
    fclose(fid);
    return;
end

```

Die Ausgabedatei enthalt folgende Werte fur den Staudruck bei Divergenz:

```

Component "winga"

Dynamic pressure at divergence:

No.      Dynamic pressure
-----
1        1.2865e-02
2        1.6691e-01
3        5.7601e-01
4        1.1889e+00
5        1.9068e+00

```

Der erste Wert in der Liste ist der Staudruck, bei dem Divergenz auftritt, d. h. $q_D = 1,29 \cdot 10^{-2}$ MPa. Bei einer Luftdichte von $1,21 \text{ kg/m}^3$ entspricht dieser Staudruck einer Geschwindigkeit von etwa 146 m/s. Diese Geschwindigkeit betragt etwa 43 % der Schallgeschwindigkeit, womit der Gultigkeitsbereich der inkompressiblen Theorie bereits berschritten ist.

Anschlieend werden neue Konfigurationen definiert, um Auftriebsbeiwert und Ruderwirkungsfaktor in Abhangigkeit vom Staudruck zu berechnen:

```

# Auftriebsbeiwert und Ruderwirkungsfaktor
# -----
#
load aero.bin

```

```
# Neue Konfigurationen definieren

qr    = [0.05 : 0.05 : 0.5];
nq    = length(qr);
qdyn = qr * qd;

nc = 1;

for k = 1 : 2
    for l = 1 : nq
        name = sprintf("Conf. %d: qdyn = %10.4e, eta = %5.2f",
                        nc, qdyn(l), eta(k));
        config(nc).name = name;
        config(nc).qdyn = qdyn(l);
        config(nc).alpha = alpha;
        config(nc).aileron = eta(k);
        nc++;
    end
end

aero.config = config;
```

Die Berechnung von Auftriebsbeiwert und Ruderwirkungsfaktor erfolgt genau so wie im Falle einer ungekoppelten aerodynamischen Berechnung. Der Auftriebsbeiwert wird auf den Auftriebsbeiwert des starren Flügels bezogen.

```
# Neue Aerodynamik-Komponente

winga = mfs_new(fid, aero);

# Neue Aeroelastik-Komponente

model.aero = winga;

wing = mfs_new(fid, model);

# Rechnung

wing = mfs_splines(wing);

[wings, winga] = mfs_statresp(wing);
winga = mfs_results(winga, "statresp", "panel");

# Auftriebsbeiwert

A      = mfs_getresp(winga, "mesh", "area");
[F, M] = mfs_getresp(winga, "statresp", "aeload");

fprintf(fid,
        "      qdyn          Fx          Fy          Fz      ");
fprintf(fid, "      Mx          My          Mz\n");
for k = 1 : length(qdyn)
    fprintf(fid, " %10.4e  %10.4e  %10.4e  %10.4e",
            qdyn(k), F(:, k));
```

```

        fprintf(fid, " %10.4e %10.4e %10.4e\n", M(:, k));
end

cLF = F(3, 1 : nq) ./ (A * qdyn);
cLR = cLF / cLR;

# Ruderwirkungsfaktor

dMxF = M(1, nq + 1 : end) - M(1, 1 : nq);
dMxF = dMxF ./ qdyn;
etaR = dMxF / dMxR;

```

In der Ausgabedatei finden sich dazu die folgenden Ergebnisse für die Lasten ohne Querruderausschlag:

qdyn	Fx	Fy	Fz	Mx	My	Mz
6.4327e-04	0.0000e+00	0.0000e+00	1.3436e+03	4.2982e+06	6.6227e+05	0.0000e+00
1.2865e-03	0.0000e+00	0.0000e+00	2.7678e+03	8.9392e+06	1.3747e+06	0.0000e+00
1.9298e-03	0.0000e+00	0.0000e+00	4.2865e+03	1.3983e+07	2.1459e+06	0.0000e+00
2.5731e-03	0.0000e+00	0.0000e+00	5.9167e+03	1.9505e+07	2.9868e+06	0.0000e+00
3.2164e-03	0.0000e+00	0.0000e+00	7.6801e+03	2.5599e+07	3.9110e+06	0.0000e+00
3.8596e-03	0.0000e+00	0.0000e+00	9.6048e+03	3.2389e+07	4.9362e+06	0.0000e+00
4.5029e-03	0.0000e+00	0.0000e+00	1.1727e+04	4.0033e+07	6.0854e+06	0.0000e+00
5.1462e-03	0.0000e+00	0.0000e+00	1.4096e+04	4.8744e+07	7.3893e+06	0.0000e+00
5.7894e-03	0.0000e+00	0.0000e+00	1.6777e+04	5.8813e+07	8.8898e+06	0.0000e+00
6.4327e-03	0.0000e+00	0.0000e+00	1.9864e+04	7.0646e+07	1.0645e+07	0.0000e+00

Da der Flügel exakt in der xy-Ebene liegt, sind die Kräfte in x- und y-Richtung sowie das Moment um die z-Achse exakt null.

In Kapitel 1.2 wurde anhand eines einfachen Modells für den Ruderwirkungsfaktor die analytische Beziehung

$$\eta_R = \frac{1 - q_\infty/q_R}{1 - q_\infty/q_D}$$

gefunden. Diese Gleichung lässt sich umformen zu

$$\eta_R = \frac{1 - (q_D/q_R)q_\infty/q_D}{1 - q_\infty/q_D}.$$

In dieser Form wird deutlich, dass die Beziehung nur vom Verhältnis q_D/q_R abhängt. Für $q_R > q_D$ strebt der Ruderwirkungsfaktor bei Annäherung an q_D gegen unendlich. Es tritt keine Ruderumkehr auf. Für $q_R < q_D$ strebt der Ruderwirkungsfaktor gegen minus unendlich. Er wird null für $q_\infty = q_R$.

Das Verhältnis q_D/q_R lässt sich durch Anpassung der Gleichung an die berechneten Werte ermitteln. Die Gleichung hat die Form

$$y = \frac{1 - mx}{1 - x}$$

mit $y = \eta_R$, $x = q_\infty/q_D$ und $m = q_D/q_R$. Der Parameter m wird so gewählt, dass die Summe der Quadrate der Abweichung der berechneten Werte von der gegebenen Gleichung minimal wird:

$$\frac{d}{dm} \sum_n \left(\frac{1-mx_n}{1-x_n} - y_n \right)^2 = 0$$

Ausführen der Ableitung ergibt

$$\sum_n \left(\frac{1-mx_n}{1-x_n} - y_n \right) \frac{x_n}{1-x_n} = 0.$$

Daraus folgt

$$\sum_n \left(\frac{1}{1-x_n} - y_n \right) \frac{x_n}{1-x_n} = m \sum_n \left(\frac{x_n}{1-x_n} \right)^2,$$

woraus m bestimmt werden kann. Das Skript berechnet den Kehrwert

$$\frac{1}{m} = \frac{q_R}{q_D},$$

der das Verhältnis des Staudrucks bei Ruderumkehr zum Staudruck bei Divergenz angibt.

```
# Staudruck bei Ruderumkehr

a = 1 ./ (1 - qr);
b = qr .* a;
a = (a - etaR) .* b;
c = b.^2;

qRqD = sum(c) / sum(a);

fprintf(fid, "\n qR/qD = %6.4f\n", qRqD);

# Graphische Darstellung von Auftriebsbeiwert und
# Ruderwirkungsfaktor

q = 0 : 0.01 : qr(end);
eR = (1 - q / qRqD) ./ (1 - q);

qt = 0 : 0.1 : qr(end);

figure(1, "position", [100, 500, 1000, 500],
       "paperposition", [0, 0, 14, 10]);

subplot(1, 2, 1);
    plot(qr, cLr, "color", "red");
    grid;
    set(gca(), "xtick", qt);
    xlabel('q_{Symbol \245} / q_D');
    ylabel("c_L/c_{LR}");

subplot(1, 2, 2);
    plot(qr, etaR, "color", "red", "marker", "x",
```

```

        "linestyle", "none",
        q, eR, "color", "green");
if (qRqD > 1)
    legend("num.", "anal.", "location", "northwest");
else
    legend("num.", "anal.", "location", "southwest");
end
legend("boxoff"); legend("left");
grid;
set(gca(), "xtick", qt);
xlabel('q_{\infty} / q_D');
ylabel('\eta_R');

print("Beiwerthe.jpg", "-djpeg");

fclose(fid);

```

Beim vorwärts gepfeilten Flügel gilt $q_R > q_D$. Die Rechnung liefert einen Wert von $q_R/q_D = 1,36$. Abbildung 2.6 zeigt eine sehr gute Übereinstimmung zwischen dem analytisch und dem numerisch berechneten Ruderwirkungsfaktor. In der Abbildung ebenfalls dargestellt ist der Verlauf des auf den Auftriebsbeiwert des starren Flügels bezogenen Auftriebsbeiwerts.

e) Detaillierte Auswertung bei 250 km/h

Das folgende GNU Octave-Skript berechnet die Druckverteilung, die Verschiebungen und die Spannungen bei einer Anströmgeschwindigkeit von 250 km/h für die folgenden Konfigurationen:

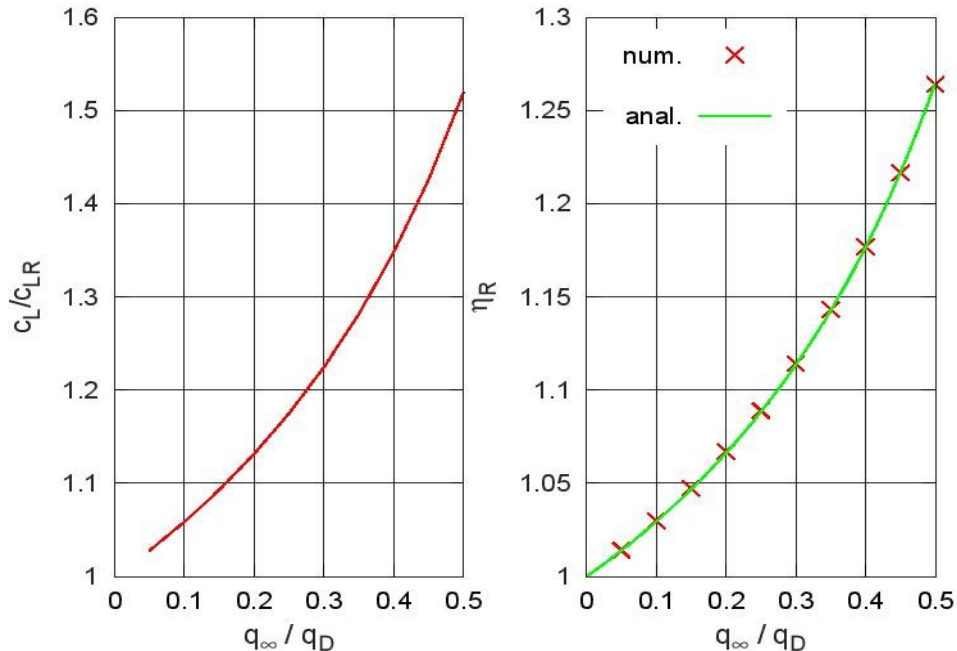


Abbildung 2.6: Auftriebsbeiwert und Ruderwirkungsfaktor

1. Anstellwinkel 2° , kein Querruderausschlag
2. Anstellwinkel 2° , Querruderausschlag 2°

Die Druckverteilung wird als Druckbeiwert an vier ausgewählten Flügelschnitten dargestellt und mit den Ergebnissen für den starren Flügel verglichen.

```
# Übungsblatt 5.1, Aufgabe 2: Flügel
#
# e) Detaillierte Auswertung für 250 km/h: Druckverteilung,
#     Verschiebung, Spannungen
#
# Benötigte Dateien: aero.bin, aeroelastic.bin, solid.set,
#                     rigid.plt
#
# -----
warning("off", "Octave:missing-glyph");

set(0, "defaultlinelinewidth", 2);
set(0, "defaultaxesfontsize", 10);

fid = fopen("flexible2.res", "wt");

# Daten

params

v = 250;      % Geschwindigkeit in km/h
rho = 1.21e-12;    % Luftdichte in t/mm^3

# Neue Konfigurationen definieren

load aero.bin

vmmms = 1000 * v / 3.6;
qdyn = 0.5 * rho * vmmms^2;

for k = 1 : 2
    name = sprintf("Conf. %d: qdyn = %10.4e, eta = %5.2f",
                   k, qdyn, eta(k));
    config(k).name = name;
    config(k).qdyn = qdyn;
    config(k).alpha = alpha;
    config(k).aileron = eta(k);
end

aero.config = config;

# Neue Aerodynamik-Komponente

winga = mfs_new(fid, aero);

# Neue Aeroelastik-Komponente

load aeroelastic.bin
```

```

model.aero = winga;

wing = mfs_new(fid, model);

# Rechnung

wing = mfs_splines(wing);

[wings, winga] = mfs_statresp(wing);
winga = mfs_results(winga, "statresp", "panel");
wings = mfs_results(wings, "statresp", "element");

mfs_export("aero.pos", "msh", winga, "statresp",
           "pressure", "disp");
mfs_export("solid.pos", "msh", wings, "statresp",
           "disp", "stress", "resultant");

mfs_merge("solid.pos", "aero.pos", "flexible.dsp", "msh");

# Druckverläufe

load rigid.plt

[xif(:, 1), pfi(:, :, 1)] = ...
    mfs_xydata(winga, "statresp", "pressure", 1, ycoli(1));
[xif(:, 2), pfi(:, :, 2)] = ...
    mfs_xydata(winga, "statresp", "pressure", 1, ycoli(2));
[xof(:, 1), pfo(:, :, 1)] = ...
    mfs_xydata(winga, "statresp", "pressure", [2, 3], ycolo(1));
[xof(:, 2), pfo(:, :, 2)] = ...
    mfs_xydata(winga, "statresp", "pressure", [2, 3], ycolo(2));

pfi = pfi / qdyn;
pfo = pfo / qdyn;

for k = 1 : length(y)
    header{k} = sprintf("\\"eta = %1d\\\"circ, y = %4.2f m",
                        eta(1), y(k));
end

figure(1, "position", [100, 500, 750, 500],
       "paperposition", [0, 0, 14, 10]);

subplot(2, 2, 1)
    plot(xi(:, 1), squeeze(pri(:, 1, 1)), "color", "red",
          xi(:, 1), squeeze(pfi(:, 1, 1)), "color", "green");
    legend("rigid", "flexible", "location", "southeast");
    legend("boxoff"); legend("left");
    title(header{1});
    grid;
    ylim([-1, 1]);
    ylabel('\Delta c_P');

subplot(2, 2, 2)

```

```

plot(xi(:, 2), squeeze(pri(:, 1, 2)), "color", "red",
      xi(:, 2), squeeze(pfi(:, 1, 2)), "color", "green");
legend("rigid", "flexible", "location", "southeast");
legend("boxoff"); legend("left");
title(header{2});
grid;
ylim([-1, 1]);

subplot(2, 2, 3)
plot(xo(:, 1), squeeze(pro(:, 1, 1)), "color", "red",
      xo(:, 1), squeeze(pfo(:, 1, 1)), "color", "green");
legend("rigid", "flexible", "location", "southeast");
legend("boxoff"); legend("left");
title(header{3});
grid;
ylim([-1, 1]);
ylabel('\Delta c_P'); xlabel('x/c');

subplot(2, 2, 4)
plot(xo(:, 2), squeeze(pro(:, 1, 2)), "color", "red",
      xo(:, 2), squeeze(pfo(:, 1, 2)), "color", "green");
legend("rigid", "flexible", "location", "southeast");
legend("boxoff"); legend("left");
title(header{4});
grid;
ylim([-1, 1]);
xlabel('x/c');

print("druck1.jpg", "-djpeg");

for k = 1 : length(y)
    header{k} = sprintf("\\"eta = %1d\\circ, y = %4.2f m",
                        eta(2), y(k));
end

figure(2, "position", [200, 600, 750, 500],
       "paperposition", [0, 0, 14, 10]);

subplot(2, 2, 1)
plot(xi(:, 1), squeeze(pri(:, 2, 1)), "color", "red",
      xi(:, 1), squeeze(pfi(:, 2, 1)), "color", "green");
legend("rigid", "flexible", "location", "southeast");
legend("boxoff"); legend("left");
title(header{1});
grid;
ylim([-1, 1]);
ylabel('\Delta c_P');

subplot(2, 2, 2)
plot(xi(:, 2), squeeze(pri(:, 2, 2)), "color", "red",
      xi(:, 2), squeeze(pfi(:, 2, 2)), "color", "green");
legend("rigid", "flexible", "location", "southeast");
legend("boxoff"); legend("left");
title(header{2});
grid;

```

```

ylim([-1, 1]);

subplot(2, 2, 3)
plot(xo(:, 1), squeeze(pro(:, 2, 1)), "color", "red",
      xo(:, 1), squeeze(pfo(:, 2, 1)), "color", "green");
legend("rigid", "flexible", "location", "southeast");
legend("boxoff"); legend("left");
title(header{3});
grid;
ylim([-1, 1]);
ylabel('\Delta c_P'); xlabel('x/c');

subplot(2, 2, 4)
plot(xo(:, 2), squeeze(pro(:, 2, 2)), "color", "red",
      xo(:, 2), squeeze(pfo(:, 2, 2)), "color", "green");
legend("rigid", "flexible", "location", "southeast");
legend("boxoff"); legend("left");
title(header{4});
grid;
ylim([-1, 1]);
xlabel('x/c');

print("druck2.jpg", "-djpeg");

# Spannungen in den Balken

load solid.set

x1 = 0.5 * b_Stringer_2;

```

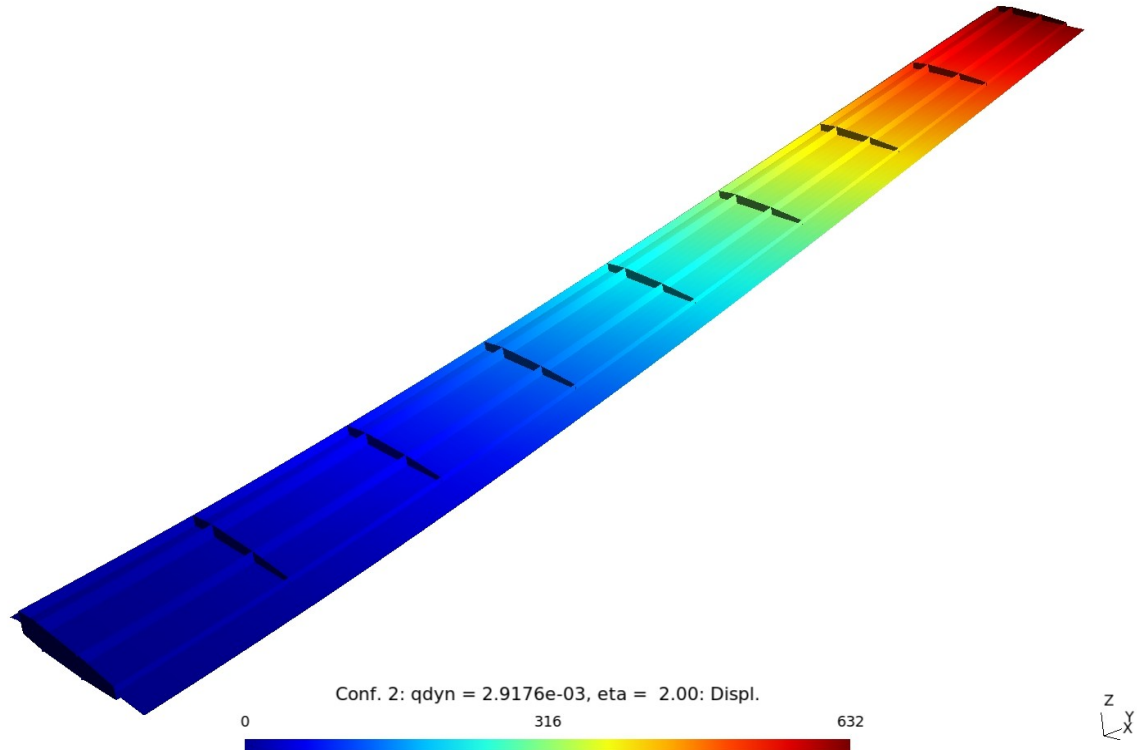


Abbildung 2.7: Verformung bei Querruderausschlag

```

zo = -0.5 * h_Stringer_2^2 / (b_Stringer_2 + h_Stringer_2);
zo -= 0.5 * t_Stringer_2;
zu = h_Stringer_2 + zo;
coor = [x1, zo; -x1, zo; 0, zu];
mfs_beamstress(fid, wings, "statresp",
    [eset.Stringer_2_Upper(1), eset.Stringer_2_Lower(1)],
    coor, 2);

x1 = 0.5 * b_Stringer_3;
zo = -0.5 * h_Stringer_3^2 / (b_Stringer_3 + h_Stringer_3);
zo -= 0.5 * t_Stringer_3;
zu = h_Stringer_3 + zo;
coor = [x1, zo; -x1, zo; 0, zu];
mfs_beamstress(fid, wings, "statresp",
    [eset.Stringer_3_Upper(1), eset.Stringer_3_Lower(1)],
    coor, 2);

fclose(fid);

```

Der verformte Flügel bei Querruderausschlag ist in Abbildung 2.7 dargestellt. An der Flügelspitze tritt eine maximale Auslenkung von 0,63 m auf, was bei einem Flügel mit einer Länge von 8 m realistisch ist.

Die größte Vergleichsspannung in den Schubfeldern tritt bei Querruderausschlag auf. Sie ist in Abbildung 2.8 dargestellt. Die größte Spannung hat einen Wert von 175 MPa und tritt an der Einspannung auf.

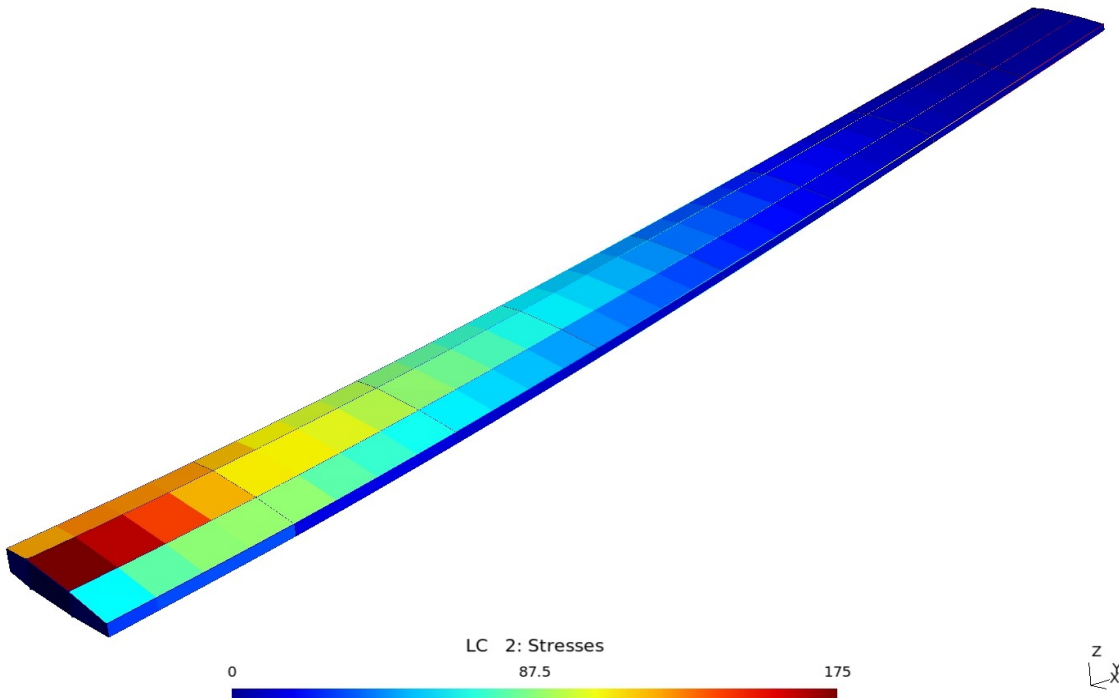


Abbildung 2.8: Vergleichsspannung bei Querruderausschlag

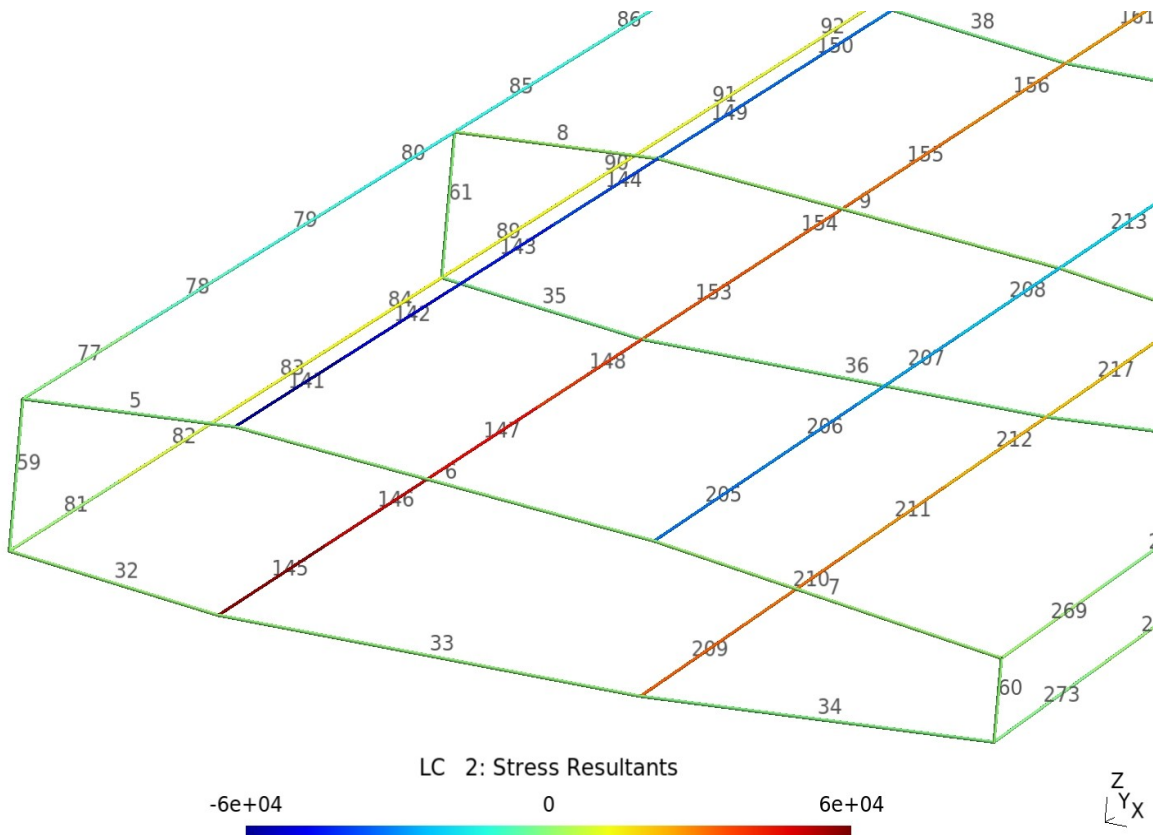


Abbildung 2.9: Normalkräfte in den Balken bei Querruderausschlag

Abbildung 2.9 zeigt die Normalkräfte in den Balkenelementen sowie die Nummern der Balkenelemente. Die größten Kräfte treten in den Stringern der beiden Hauptholme auf. Für die Elemente mit den größten Normalkräften, d. h. für die Elemente 141 und 145 sowie 205 und 209, werden die Spannungen an den drei Eckpunkten des T-Profilis berechnet. Die Ausgabedatei enthält die folgenden Werte:

Component "wings"

Beam stresses of loadcase 2

element	point	y	z	sig
141	1	2.500e+01	-1.089e+01	-2.028e+02
	2	-2.500e+01	-1.089e+01	-2.086e+02
	3	0.000e+00	2.911e+01	-7.809e+01
145	1	2.500e+01	-1.089e+01	2.114e+02
	2	-2.500e+01	-1.089e+01	1.987e+02
	3	0.000e+00	2.911e+01	7.702e+01

Component "wings"

Beam stresses of loadcase 2

element	point	y	z	sig
205	1	2.000e+01	-8.429e+00	-1.563e+02
	2	-2.000e+01	-8.429e+00	-1.489e+02

209	3 0.000e+00 2.157e+01 -6.902e+01
	1 2.000e+01 -8.429e+00 1.515e+02
	2 -2.000e+01 -8.429e+00 1.540e+02
	3 0.000e+00 2.157e+01 6.920e+01

Die Spannungen werden für beide Knotenpunkte der Balkenelemente berechnet. Die größte Spannung beträgt 212 MPa. Die Tatsache, dass sich für die einzelnen Auswertepunkte unterschiedliche Spannungen ergeben, zeigt, dass die Balken auch auf Biegung beansprucht werden.

Die Abbildungen 2.10 und 2.11 vergleichen die Verläufe der Druckbeiwerte in Flügeltiefenrichtung in ausgewählten Flügelschnitten beim flexiblen Flügel mit den entsprechenden Verläufen beim starren Flügel. Deutlich zu erkennen ist, dass der Druckbeiwert beim flexiblen Flügel größer ist als beim starren Flügel, wobei die Abweichung mit zunehmendem Abstand von der Flügelwurzel zunimmt. Ursache dafür ist der infolge der Torsion erhöhte Anstellwinkel.

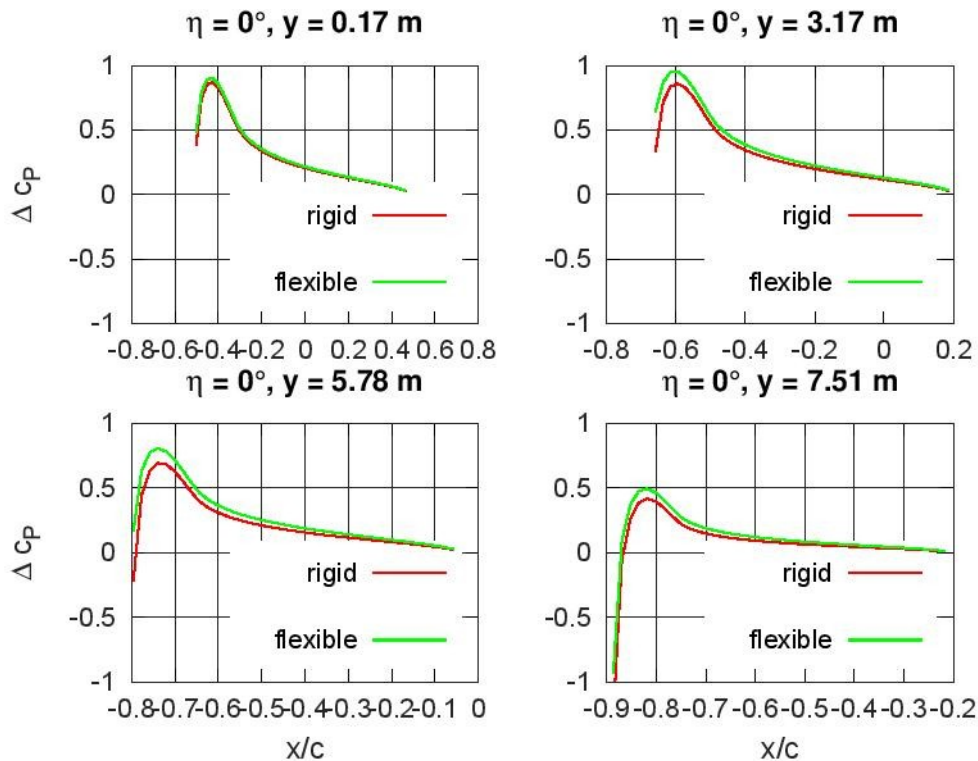


Abbildung 2.10: Druckbeiwerte für den flexiblen Flügel ohne Querruderausschlag

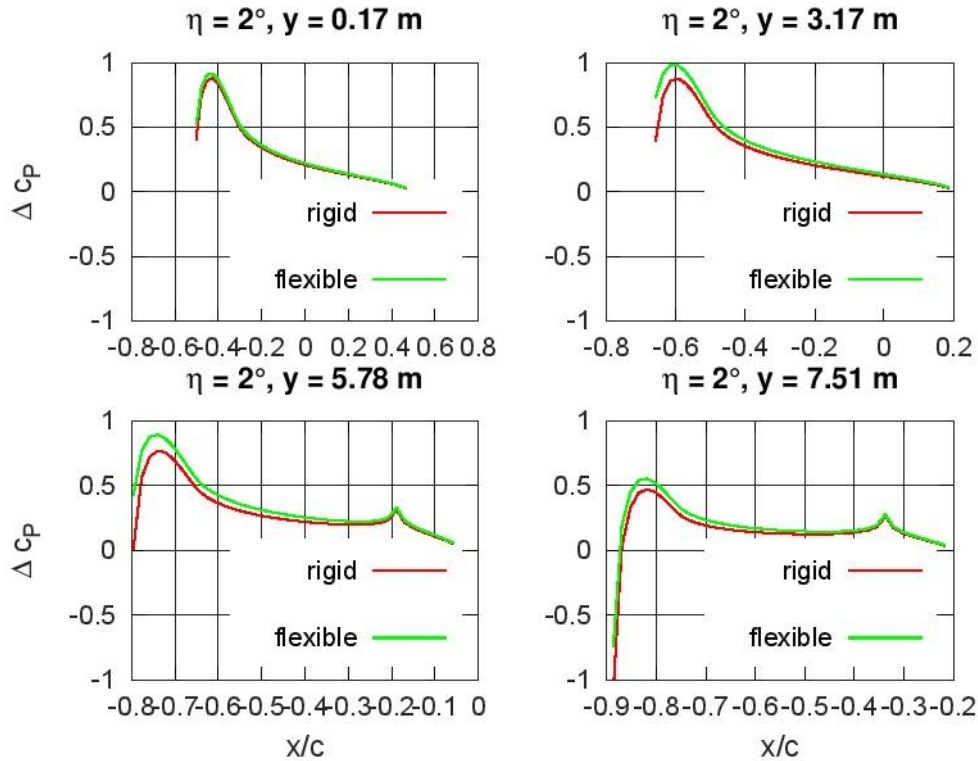


Abbildung 2.11: Druckbeiwerte für den flexiblen Flügel mit Querruderausschlag